

**Oppfølgende miljøundersøkelse på Kollsnes
1998**

Sublitorale sediment

RF-1999/043

| | | |
|-------------------------------------|--|--|
| Vår referanse: 613/654819 | Forfatter(e): Veslemøy Eriksen, Øyvind Tvedten | Versjonsnr. / dato: Vers. 1 / 11. 03. 99 |
| Ant. sider: 28 + vedlegg | Faglig kvalitetssikrer: Odd Kjetil Andersen | Gradering: Åpen |
| ISBN: 82-7220-971-3 | Oppdragsgiver: Statoil | |
| | Prosjekttittel: Oppfølgende miljøundersøkelse på Kollsnes 1998 | |

| | |
|-----------|---|
| Emne: | Undersøkelsen er en videreføring av grunnlagsundersøkelsen som ble gjennomført i perioden 1991-92 og den oppfølgende miljøundersøkelsene i 1995. Hensikten har vært å overvåke hvordan utbyggingen og drift av Kollsnesanlegget påvirker det ytre miljø. Denne undersøkelsen har omhandlet marine sublitorale sediment. |
| Emne-ord: | Marine sediment, bløtbunnsfauna, tungmetaller, hydrokarboner |

RF - Rogalandsforskning er sertifisert etter et kvalitetssystem basert på NS - EN ISO 9001

Veslemøy Eriksen
Prosjektleder
Veslemøy Eriksen

Kåre Netland
for RF - Miljø og næringsutvikling
Kåre Netland

Innhold

| | |
|--|----|
| 1 INNLEDNING | 1 |
| 2 MATERIAL OG METODE | 3 |
| 2.1 Innsamlingsprogram sediment..... | 3 |
| 2.2 Analyse av sedimentet | 4 |
| 3 RESULTATER OG DISKUSJON..... | 11 |
| 3.1 Partikelstørrelsесfordeling i sedimentet | 11 |
| 3.2 Organisk innhold /glødetap | 12 |
| 3.3 Metaller | 12 |
| 3.4 Hydrokarboner..... | 14 |
| 3.5 Bunndyr..... | 16 |
| 4 KONKLUSJON..... | 20 |
| 5 REFERANSER | 21 |

Sammendrag

Sublitorale overflatesediment ved Kollsnes gassanlegg ble undersøkt i grunnlagsundersøkelsen i 1991 og i den oppfølgende undersøkelsen i 1995. Undersøkelsen i 1991 omfattet kjemiske og biologiske analyser, undersøkelsen i 1995 omfattet bare kjemiske analyser. Den foreliggende undersøkelsen har omfattet kjemiske og biologiske analyser.

Sediment prøvene ble tatt med en 0,1 m² van Veen grabb, og det ble tatt fem replikate hugg pr. stasjon til fauna analyser med unntak av referanse stasjonen hvor det ble samlet inn ti replikate hugg. Det ble tatt 3 prøver til analyse av kjemiske parametre fra alle stasjene med unntak av referanse stasjonen (MS9) hvor det ble samlet inn 5 prøver. Arbeidet er utført i henhold til SFTs krav for miljøovervåkning av petroleumsvirksomhet på norsk sokkel. Undersøkelsen har omfattet analyser av følgende sedimentparametre:

- Bløtbunnsfauna
- Organisk innhold målt som glødetap
- Partikelstørreslesfordeling
- Tungmetaller
- Hydrokarboner

Resultatene viser at:

Kjemiske parametre: Stasjon MS1, som ligger innerst i Kvaliosen, skiller seg klart ut fra de andre stasjonene med hensyn på alle de målte kjemiske parametrene. Sedimentet på stasjonen inneholdt den høyeste andelen finpartikulært materiale og hadde høyest glødetap. De høyeste konsentrasjonene av metaller og hydrokarboner ble også målt på Stasjon MS1. Stasjon MS1 ligger i indre del av Kvaliosen et område med lavere strømhastighet sammenliknet med de andre undersøkte områdene. Årsaken til de høye konsentrasjonene skyldes derfor sannsynligvis naturlige forhold i sedimentet og ikke påvirkninger fra gassanlegget.

Sedimentet på de undersøkte stasjonene med unntak av Stasjon MS1 bestod hovedsakelig av grove sandpartikler. Det grove sedimentet på de undersøkte stasjonene indikerer gode strømforhold og derfor liten sedimentasjon i området. De målte verdiene for organisk innhold er lave og ligger innenfor det som betegnes som normalt i kystnære områder. Dette tyder på at området tilføres lite organisk materiale. Resultatene fra metallanalyse, med unntak av enkelte verdier for kadmium, er under de verdier som tilsvarer et *Ubetydelig til Lite forurenset* område i følge SFTs klassifisering. De høyeste verdiene fra hydrokarbonanalyse ble målt på stasjon MS1 og MS2, og tilstanden på MS1 beskrives som *Moderat forurenset*. Resultatene fra de andre stasjonene tyder ikke på at området i betydelig grad er forurenset av hydrokarboner.

Biologiske parametre: Resultatene fra bunndyrsanalysene indikerer at området rundt Kollsnes er artsrikt og tilstanden i sedimentet er med unntak av noen områder *Meget god*. Resultatene tyder også på at området er svært heterogent, med store forskjeller innen avgrensede områder.

Det foreliggende arbeid tyder ikke på at oppstart av Kollsnes anlegget har påvirket sjøbunnen. Kvaliosen er derimot et sedimentasjonsbasseng, og utslipps til bassenget bør overvåkes.

1 Innledning

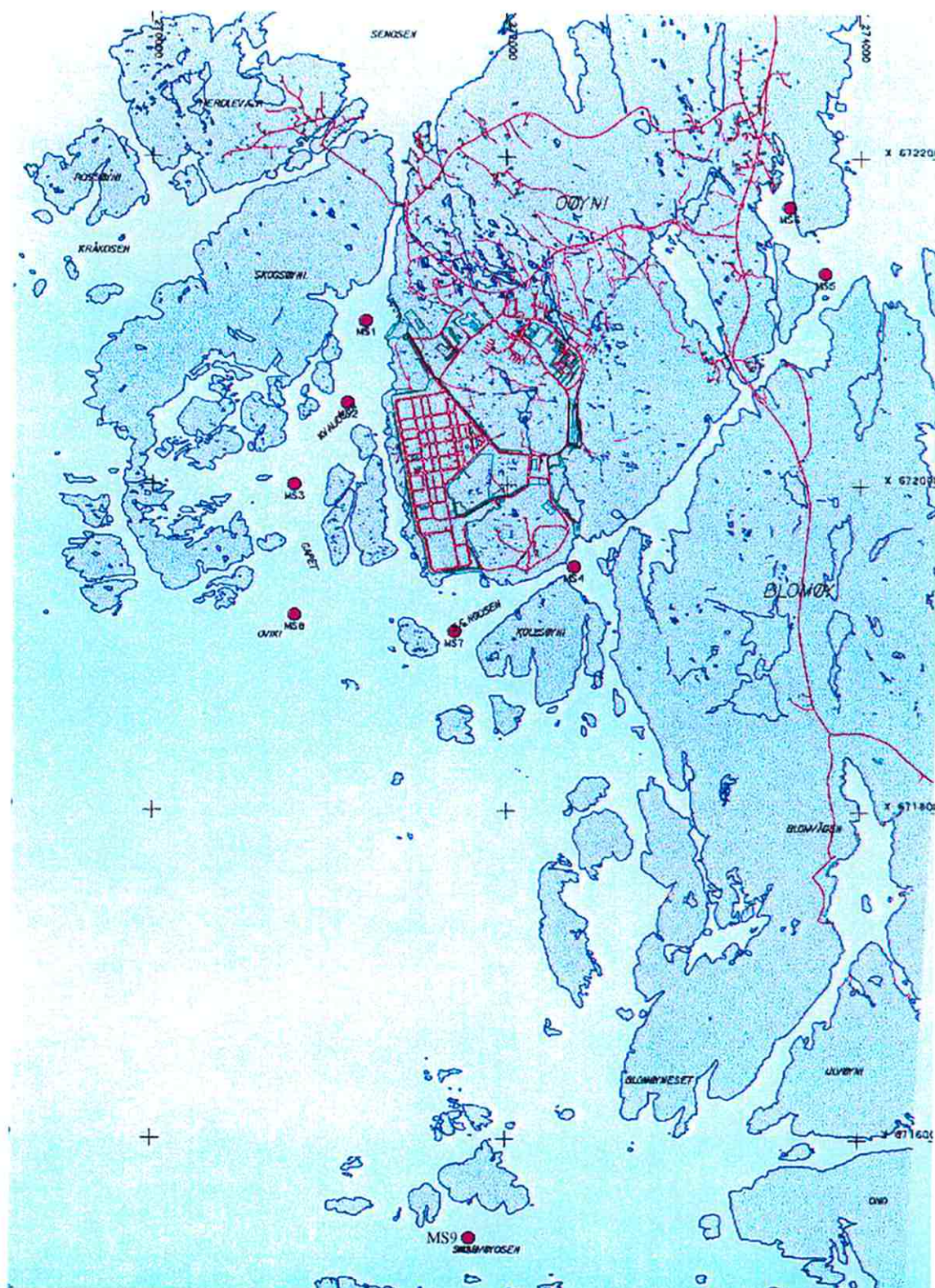
Biologiske og kjemiske undersøkelser av sedimentet er vanlige i forbindelse med marine miljøundersøkelser. Studier av bløtbunn inngår som en stor del av SFTs krav til miljøovervåkning rundt petroleumsinstallasjoner på norsk sokkel.

Sublitorale overflatesedimenter ved Kollsnes gassanlegg ble undersøkt i grunnlagsundersøkelsen i 1991 og i den oppfølgende undersøkelsen i 1995. I grunnlagsundersøkelsen i 1991 ble sedimentet på 9 stasjoner i det nære sjøområdet til Kollsnes kartlagt (Moe m fl. 1992). I oppfølgingsundersøkelsen i 1995 ble det tatt prøver fra 4 av de 9 stasjonene (Stasjon 1, 3, 7 og 9) fra grunnlagsundersøkelsen (Myhrvold m fl. 1996). I den foreliggende undersøkelsen er 7 av de 9 stasjonene fra grunnlagsundersøkelsen inkludert. Stasjon 5 og 6 fra grunnlagsundersøkelsen er ekskludert. Se Figur 1 for kart over området med inntegnede stasjoner.

Undersøkelsen i 1991 omfattet kjemiske og biologiske analyser, undersøkelsen i 1995 omfattet bare kjemiske analyser. Formålet med undersøkelsen har vært å overvåke hvordan utbygging og drift av Kollsnes anlegget påvirker de marine sediment.

Undersøkelsen i 1998 har omfattet analyser av følgende sedimentparametre:

- Bløtbunnsfauna
- Organisk innhold målt som glødetap
- Partikelstørreslesfordeling
- Tungmetaller
- Hydrokarboner



Figur 1. Kart over undersøkelses området med sedimentstasjoner inntegnet.

2 Material og Metode

2.1 Innsamlingsprogram sediment

Prøvene ble samlet inn 31. august 1998 fra M/S Solvik. Posisjon til stasjonene er oppgitt basert på differensiell GPS. Tabell 1 viser posisjon, dyp og kommentarer til sedimentet på de syv stasjonene. Posisjoner fra de tidligere undersøkelsene (i 1991 og 1995) var oppgitt med en nøyaktighet på +/- 100 m, posisjoneringen ved årets undersøkelse har en nøyaktighet på +/- 3 m. Dette medfører at plasseringen av stasjonene i denne undersøkelsen kan være ulik plasseringene i 1991 og 1995.

Sediment prøvene ble tatt med en 0,1 m² van Veen grabb, og det ble tatt fem replikate hugg pr. stasjon med unntak av referansestasjonen (MS9) hvor det ble samlet inn ti replikate hugg. Prøvene til bunndyrsanalysene ble siktet gjennom sikter med hulldiameter 5 og 1 mm, slik at prøvene er kvantitative for bentisk infauna >1,0 mm. Prøvene ble fiksert med 4 % formalin og nøytralisiert med boraks. Prøver til metall-, hydrokarbon-, parikkelsstørreslesfordelings- og glødetapsanalyser ble tatt fra en luke øverst på grabben fra de øverste to cm av sedimentet. Det ble tatt 3 prøver til analyse av kjemiske parametre fra alle stasjonene med unntak av referansestasjonen (MS9) hvor det ble samlet inn 5 prøver.

Tabell 1. Stasjonsplassering og sedimentbeskrivelse på de syv stasjonene ved Kollsnes gassanlegg i 1998. (Gradnett for posisjoner er WGS-84.)

| Stasjon | Dyp | Posisjon (N, Ø) | Kommentarer |
|---------|-------|----------------------------|--|
| MS1 | 43 m | 60°33,476 N 04°49,522 Ø | Finkornet sand med mudder og skjell rester. Moderat H ₂ S lukt. Grå-grønn farget sediment. |
| MS2 | 56 m | 60°33,223 N 04°49,429 Ø | Skjellsand med mudder og stein. Grå-grønn farget sediment. |
| MS3 | 48 m | 60°32,876 N 04°49,193 Ø | Lys, finkornet skjellsand. |
| MS4 | 39 m | 60°32,560 N 04°50,411 Ø | Lys, finkornet skjellsand. Litt rester av tang og tare. |
| MS7 | 65 m | 60°32,335 N 04°50,177 Ø | Skjellsand med litt mudder. Sedimentet hadde en "syrlig" lukt. |
| MS8 | 113 m | 60°32,300 N 04°49,247 Ø | Lys skjellsand med sand og mudder. En del tarerester |
| MS9 | 78 m | 60°30,491 N 04°50,756 Ø | Gul-brun skjellsand med mudder. |

2.2 Analyse av sedimentet

2.2.1 Partikkelstørrelsесfordeling

Sedimentet ble splittet i to fraksjoner ved våt-siktning. Den grove delen ($> 63 \mu\text{m}$) ble analysert ved tørrsiktning Buchanan (1984). Sedimentet ble tørket over natten ved 100 °C. Det tørre sedimentet ble deretter overført til en sikt-serie med åpninger fra 4 til 0,063 mm (Tabell 2). Materialet som ble liggende igjen på de ulike siktene ble veid til nærmeste 0,0001 gram.

Det ble ikke utført videre analyser av den fine delen ($< 63 \mu\text{m}$).

Tabell 2. Siktstørrelser for analyse av grovfraksjon i sedimentet. ϕ (phi-verdiene) fremkommer ved $\phi = -\log_2$ av størrelsen i mm.

| Navn | Størrelse (mm) | Størrelse (ϕ) |
|-------|----------------|----------------------|
| Grus | 4 | -2 |
| Sand | 2 | -1 |
| | 1 | 0 |
| | 0.5 | 1 |
| | 0.25 | 2 |
| | 0.125 | 3 |
| Silt | 0.063 | 4 |
| | 0.031 | 5 |
| | 0.015 | 6 |
| | 0.008 | 7 |
| | 0.004 | 8 |
| Leire | < 0.004 | 9 |

2.2.2 Organisk innhold / glødetap

Mengden organisk materiale i sedimentet ble analysert som glødetap, og er beregnet etter innveiing etter tørking ved 105 °C og etter gløding ved 550 °C (NS 4764).

2.2.3 Metaller

Prøvene til metallanalysene ble oppsluttet i henhold til Norsk Standard 4770. Sedimentprøvene ble tørket ved 50 °C til konstant vekt. Prøvene ble deretter knust og homogenisert i en agarmorter og siktet gjennom en 0,5 mm nylon sikt. Videre analyser ble utført av fraksjonen av partikler mindre enn 0,5 mm.

Metallene ble ekstrahert ved at 1 gram av fraksjonen ble tilsatt 10 ml 7 M salpetersyre. Prøvene ble deretter overført til en autoklav med konstant temperatur på 120 °C i 30 minutter. Etter avkjøling ble prøvene fortynnet med destillert vann til 50 ml.

Sedimentet ble analysert for følgende metaller: krom (Cr), nikkel (Ni), kobber (Cu), sink (Zn), kadmium (Cd), bly (Pb) og kvikksølv (Hg). Metallene ble, med unntak av kvikksølv, analysert i en ICP-MS med indium som intern standard. For kvikksølv ble

det benyttet kalddamp-atomabsorpsjon (CV-AAS) med et automatisk injeksjonssystem (FIMS) fra Perkin-Elmer.

Kvalitetskontroll

Kvalitetssikringen omfattet alle faser av analysen inkludert oppslutning av referanse-materiale, oppslutning av blanker og oppslutning av replikater. Som referanse-materiale ble det valgt MESS-1 og BEST-1. MESS-1 har ingen sertifiserte verdier for kvikksølv, mens BEST-1 bare har sertifiserte verdier for kvikksølv. Resultatene fra referanse-materialet gav resultater som er normale i henhold til Norsk Standard. Vedlegg 4 viser oppsummeringen fra kvalitetskontrollen.

2.2.4 Hydrokarboner

2.2.4.1 Tørrstoffinnhold

Tørrstoffinnholdet i sedimentprøvene bestemmes ved å ta ut ca 2 g homogenisert prøve. Prøven tørkes i varmeskap ved 105 °C til konstant vekt. Tørrstoffinnholdet bestemmes ved å veie prøvene før og etter tørking. Tørrstoffinnholdet brukes til beregning av de øvrige kjemiske parametre.

Analyse av totalt hydrokarbon, aromater

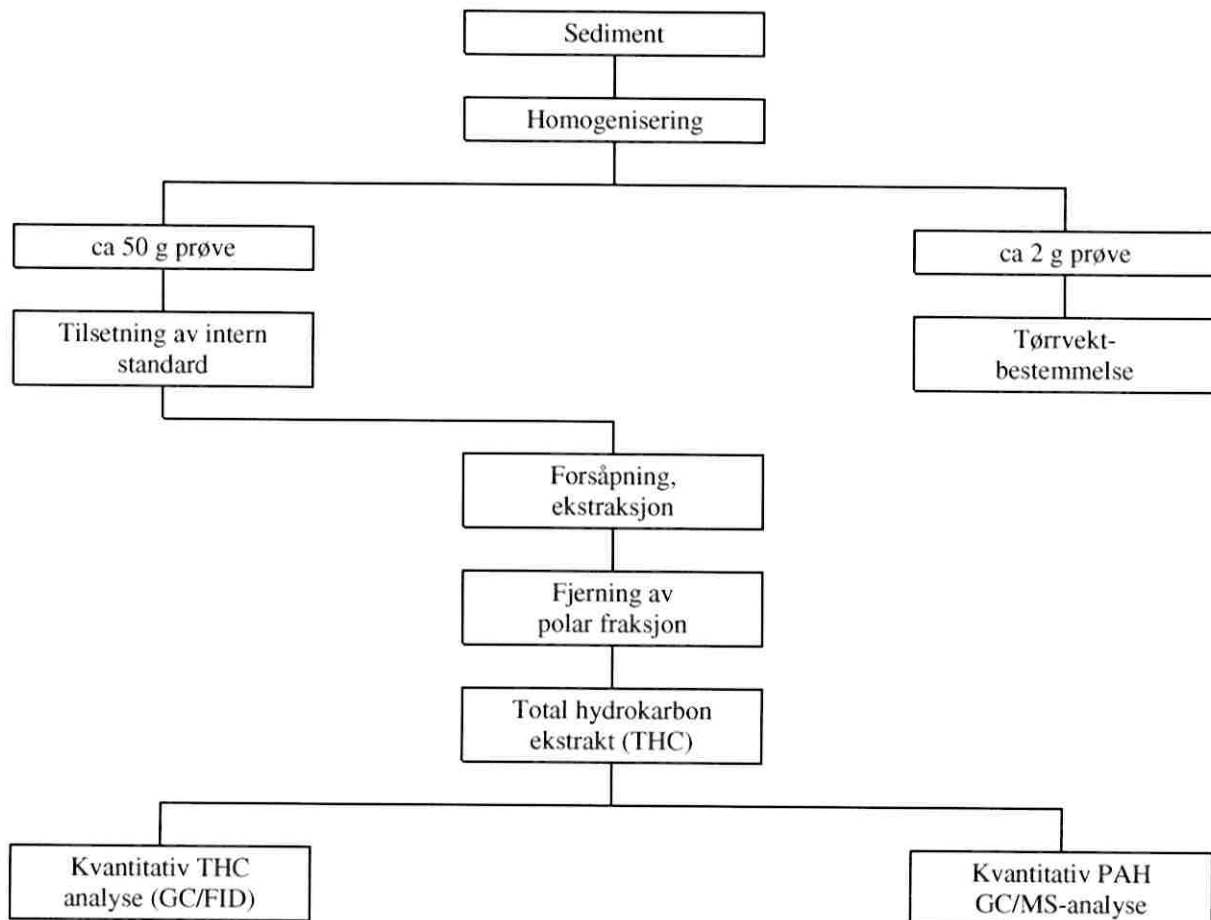
I Figur 2 sees et flytdiagram over prosedyren for opparbeidelse og analyse av de utvalgte organiske parametre på sedimentprøvene. I nedenstående Tabell 3 sees en oversikt over analyseparametre og de tilhørende metoder.

Tabell 3. Analyseparametre og -metoder.

| Analyseparametre | Analysemetode |
|------------------------|---------------|
| Total hydrokarbon, THC | GC/FID |
| 3-6 rings aromater | GC/MS-SIM |

2.2.4.2 Forsåping og ekstraksjon.

Sedimentprøvene forsåpes med KOH. Deretter ble hydrokarbonene ekstrahert med diklorometan og den polare fraksjonen ble fjernet ved søylekromatografi.



Figur 2. Flytdiagram for hydrokarbonanalyse i sediment.

2.2.4.3 Analyser av THC

Alle ekstraktene analyseres først ved gasskromatografi med flamme-ionisasjonsdetektor (GC/FID), for innhold av THC. Prøvenes innhold av THC bestemmes ut fra ekstern standard. Statoils basisolje (HDF 200) ble benyttet som ekstern standard, og kvantifiseringen ble foretatt i området nC₁₂-nC₃₅. Standardbetingelsene for THC analysen er gitt i Tabell 4.

Tabell 4. GC/FID betingelser ved THC analyse.

| GC-betingelser | |
|-----------------|--|
| Gasskromatograf | Hewlett Packard HP 5890 II |
| Kolonne | Rtx-5, 25 m x 0,2 mm x 0,5 mm |
| Bæregass | Hydrogen, 2 ml/min |
| Make-up gass | Nitrogen, 60 ml/min |
| Detektor | FID |
| Injeksjon | 1 µl, splitless |
| Kolonnetemp. | 50 °C (2 min) 20 /min til 310 C (10 min) |
| Injectortemp. | 280 °C |
| Detektortemp. | 300 °C |

2.2.4.4 PAH analyser

Ekstraktene analyseres dessuten ved gasskromatografi med massespektrometrisk detektor ved bruk av selektiv ione monitorering (GC/MS-SIM). I Tabell 5 er standardbetingelsene for GC/MS-SIM analysene gitt.

Tabell 5. GC/MS-betingelser.

| GC/MS-parametre | |
|-------------------|---|
| Gasskromatograf | Hewlett Packard HP 5890 II |
| Massespektrometer | Hewlett Packard HP 5971 A |
| Kolonne | HP-5, 25 m x 0,2 mm x 0,33 µm |
| Bæregass | Helium, ca 0,8 ml/min |
| Injeksjon | 2 µl, splitless |
| Kolonnetemp. | 50 °C (1 min) 12 /min til 310 °C (10 min) |
| Injectortemp. | 280 °C |
| Interface | 280 °C |
| Ionisering | Electron Impact 70 eV |

2.2.5 Bunndyr

Bunndyrsfaunaen er i hovedsak immobil. Faunaen kan derfor betraktes som et "speil" på den forurensningsbelastning området har vært utsatt for, og ikke bare representere et øyeblikksbilde, slik tilfellet er om det blir målt ulike parametre i vannsøylen. Derfor er bunndyrsundersøkelser ofte benyttet for å vurdere effekten av ulik forurensning.

Antallet av arter og individer er primære resultater i bunndyrsundersøkelser. Ettersom antallet arter og individer i upåvirkede marine sedimenter kan være høyt og derfor

vansklig å få oversikt over, er det hensiktsmessig å sammenfatte informasjonen ved bruk av ulike beregningsmetoder og grafiske fremstillinger.

Ved å redusere datasett med mange variable (her vil hver art representere en variabel) til enklere tall eller informative figurer, vil det på grunn av de enkelte metoders svakheter være fare for at vesentlig informasjon går tapt. Metodene har ulike fordeler og ulemper, og det er derfor vanlig å benytte flere utfyllende og til dels overlappende metoder. I denne undersøkelsen er analysene utført ved hjelp av beregninger og figurfremstillinger som er anbefalt og vanlig brukt i tilsvarende resipientundersøkelser.

På laboratoriet ble alle dyr plukket ut under lupe, og overført til egnet konserveringsmiddel. Dyrene ble identifisert til art så langt dette har vært mulig. Muslinger og snegler ble artsbestemt av Per B. Wikander, krepsdyrene av Kristin M. Nodland, mens Veslemøy Eriksen har stått for identifiseringen av de resterende gruppene.

Taksonomiske grupper (art og slekt) som er tatt med i de videre analysene, er tatt med ut fra følgende kriterier:

- Artene lever i bunnsedimentet
- Artene er samlet kvantitativt med grabben
- Individene holdes tilbake på sikt med maskevidde 1 mm
- Individene er identifisert til art, slekt eller familie. Unntaket er fåbørstemarkene (Oligochaetae), disse er bare bestemt til gruppe, men er likevel tatt med i analysene.

Dette medfører at grupper som rundmakk samt kolonidannende arter som hydrozoer og svamper ikke er med i analysene. Krepsdyr uten tilknytning til sedimentet er også utelatt fra de videre analyser.

Mål på diversitet

Diversitet blir beregnet ut fra antall arter og fordeling av individene på artene i prøven. Med høyt antall arter og jevn individ fordeling mellom artene, vil prøven ha høy diversitet. Diversitet er beregnet som Shannon-Wieners diversitetsindeks (H') (Shannon & Weaver 1963) og jevnhet (Pielou 1966).

Shannon-Wiener indeksen beregnes som:

$$H' = - \sum_{i=1}^s p_i \log_2 p_i$$

Hvor $p_i = n_i / N$, s = totalt antall arter, n_i = antall individer av i-te art og N = totalt antall individer.

De beregnede verdiene sammenlignes med *grenseverdier* gitt av SFT (Molvær m. fl. 1997).

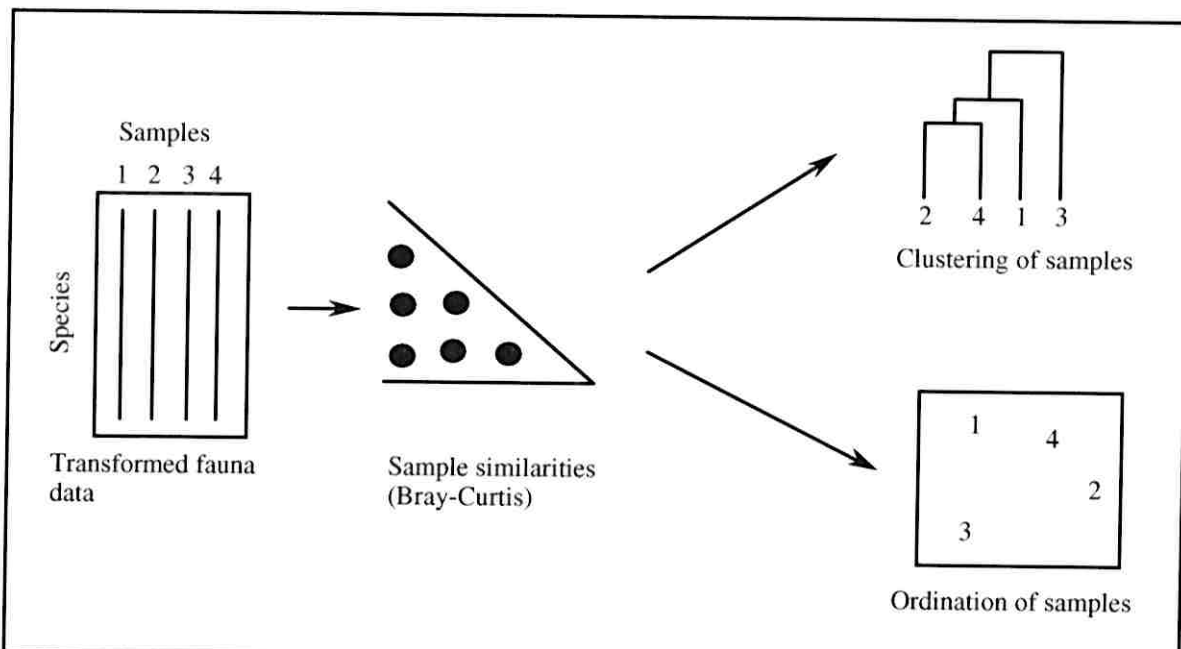
Jevnhet (J) er et mål på hvor jevnt individene er fordelt mellom artene. Verdiene ligger mellom 0 og 1. Verdien vil gå mot 0 om de fleste individene tilhører en art, mens den vil være 1 om alle artene er representert med like mange individer. Ved maksimal diversitet, vil alle artene være representert med like mange individer, det vil si at $H' = \log_2 S = H_{\max}$. Forholdet mellom observert (H') og maksimal diversitet (H_{\max}), kan derfor sees som et mål på jevnhet (Magurran 1988). Jevnhet beregnes som:

$$J = \frac{H'}{\log_2 S} = \frac{H'}{H_{\max}}$$

2.2.5.1 Multivariate metoder

Klassifisering (klusteranalyse) og ordinering (MDS) er benyttet for å undersøke likheten mellom bunndyrsprøvene fra de ulike stasjonene for innsamlingen i 1995. Analysene er utført på data både fra hver enkelt grabb og på stasjons data. Dataene er dobbelrot transformert før analyse. Graden av transformering av data er bestemmende for den vekt man tillegger sjeldne og vanlige arter. Dobbeltrot transformering er en vanlig benyttet transformering for eksempel Field et al. (1982) og Gray et al. (1988).

Multi Dimensional Scaling (MDS) og kluster analysen ble utført i programpakken PRIMER 4.0 (Carr 1994). Metodene begynner med å måle likheten mellom to og to prøver basert på Bray-Curtis similaritetsindeks. Den resulterende similaritetsmatrisen brukes til å dele prøvene inn i grupper. Likheten mellom disse gruppene fremstilles deretter grafisk som dendrogram fra kluster analysen, eller som to dimensjonale plot fra MDS analysen. Se Figur 3 for skjematiske fremstilling av metodene.



Figur 3. Skjematisk fremstilling av de ulike trinn i klassifisering og MDS analyse. Modifisert etter (Field m. fl. 1982).

I dendrogrammet er *grenene* som ligger nærmest hverandre de som ligner mest på hverandre. Forgreningspunktene forteller også kvantitativt hvor stor likheten mellom ulike prøver er.

MDS konstruerer et "kart" over prøvene, hvor dess mer like to prøver er med hensyn på forekomst av arter, dess nærmere vil de være hverandre på "kartet" (Gray m. fl. 1988). MDS analysen forsøker å opprettholde den innbyrdes rekkefølgen av likheter fra data-analysen, og frem til presentasjonen av resultatene i et todimensjonalt plot dvs; prøve 1 er likere prøve 2, enn prøve 3 er til prøve 4, skal fremkomme i plottet som, prøve 1 er nærmere prøve 2 enn prøve 3 er til prøve 4 (Clarke & Warwick 1994).

Stress faktoren for analyseresultatet forteller hvor godt det todimensjonale plottet reflekterer mange-dimensjonaliteten i dataene. Clarke (1993) foreslår følgende "tommelfingerregler" for tolkning av *stress*-faktoren.

Stress < 0,05 – gir en meget god gjengiving

Stress < 0,10 – gir en god ordinering

Stress < 0,20 – krever varsom tolkning

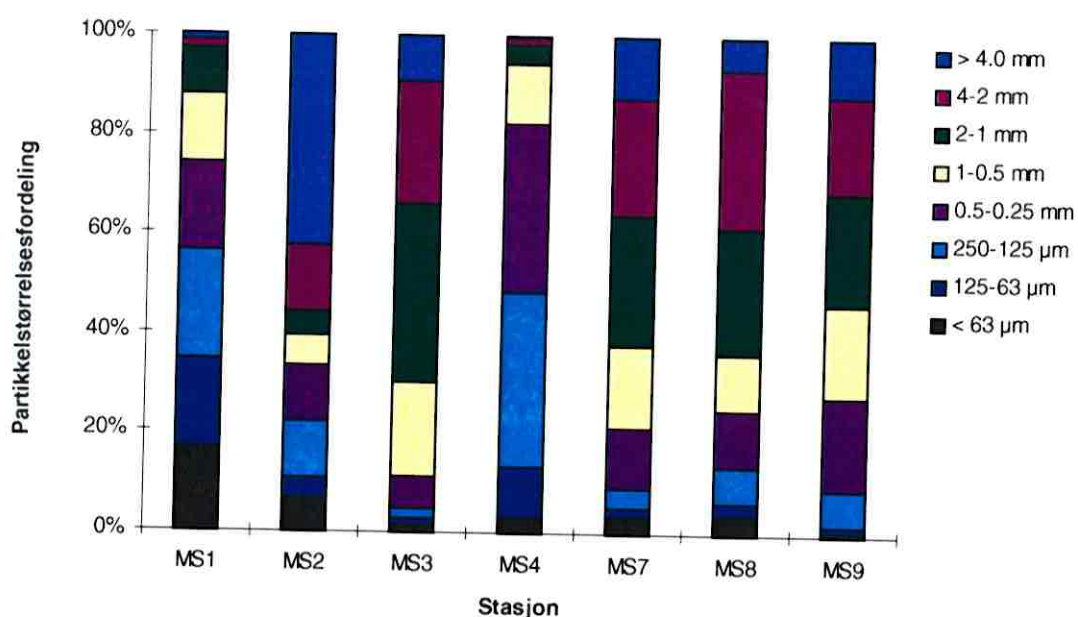
Stress > 0,20 – plottet kan være "farlig" å tolke, og hvis verdien når 0.35-0.40, så er prøvene tilfeldig plassert i plottet.

3 Resultater og Diskusjon

3.1 Partikkeltørrelsesfordeling i sedimentet

Sedimentet på stasjonene bestod hovedsakelig av grove sandpartikler (Figur 4). Det grove sedimentet indikerer gode strømforhold og derfor liten sedimentasjon i området. Andel finpartikulært materiale var høyest på Stasjon MS1 hvor 17 % av partiklene var mindre enn 63 µm (dvs leirepartikler). Stasjon MS1 ligger i indre del av Kvaliosen (Figur 1) og strømhastigheten dempes her av det trange sundet mellom One og Skogsøy (Moe m. fl. 1992). Det vil derfor sedimentere mer finpartikulært materiale her sammenlignet med andre mer strømrike områder.

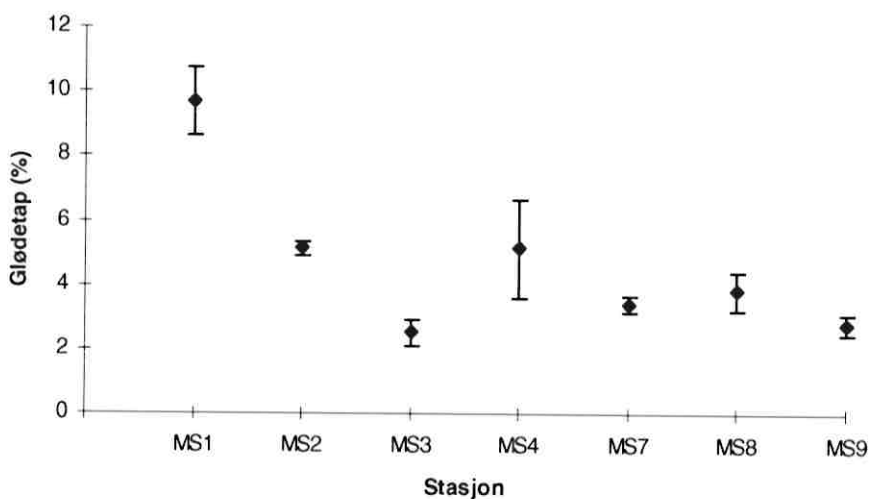
Finpartikulære sediment i akkumulasjonsområder inneholder som regel høyere verdier av for eksempel organisk materiale, tungmetaller og hydrokarboner enn grovere sediment gjør. Dette skyldes både lavere strømhastighet og dermed mindre utvasking, samt leirpartiklenes ladning og relative store overflate. I sedimentasjonsområder vil det også ofte kunne være relativt stor variasjon i de målte sedimentparametre over begrensede områder (Morrisey m. fl. 1992 og Myhrvold 1996). De forventes derfor at de målte parametriene vil ha høyere verdier på Stasjon MS1 sammenlignet med de andre stasjonene.



Figur 4. Kumulativ partikkeltørrelse (gjennomsnitt av 3 replikate prøver pr. stasjon) i overflatesedimentet fra Kollsnes 1998. De ulike fargene representerer ulik partikkeltørrelse.

3.2 Organisk innhold / glødetap

De målte verdiene for organisk innhold er lave og ligger innenfor det som betegnes som normalt i kystnæreområder med akkumulasjonsbunner (Myhrvold m. fl. 1996). Høyeste verdi for glødetap ble målt på Stasjon MS1 (Figur 5). Dette stemmer godt med resultatene fra partikelstørrelsesanalysen hvor det ble funnet høyest andel finpartikulært materiale på Stasjon MS1. De målte verdiene for organisk innhold samsvarer med undersøkelsen i 1995 og en resipientundersøkelse utført i området i 1991 (Johannessen m. fl. 1991). Sammenlignet med målingene i 1991 er verdiene fra glødetapsanalysene i indre Kvaliosen noe høyere i årets undersøkelse. Dette kan sannsynligvis forklares med lokal variasjon.



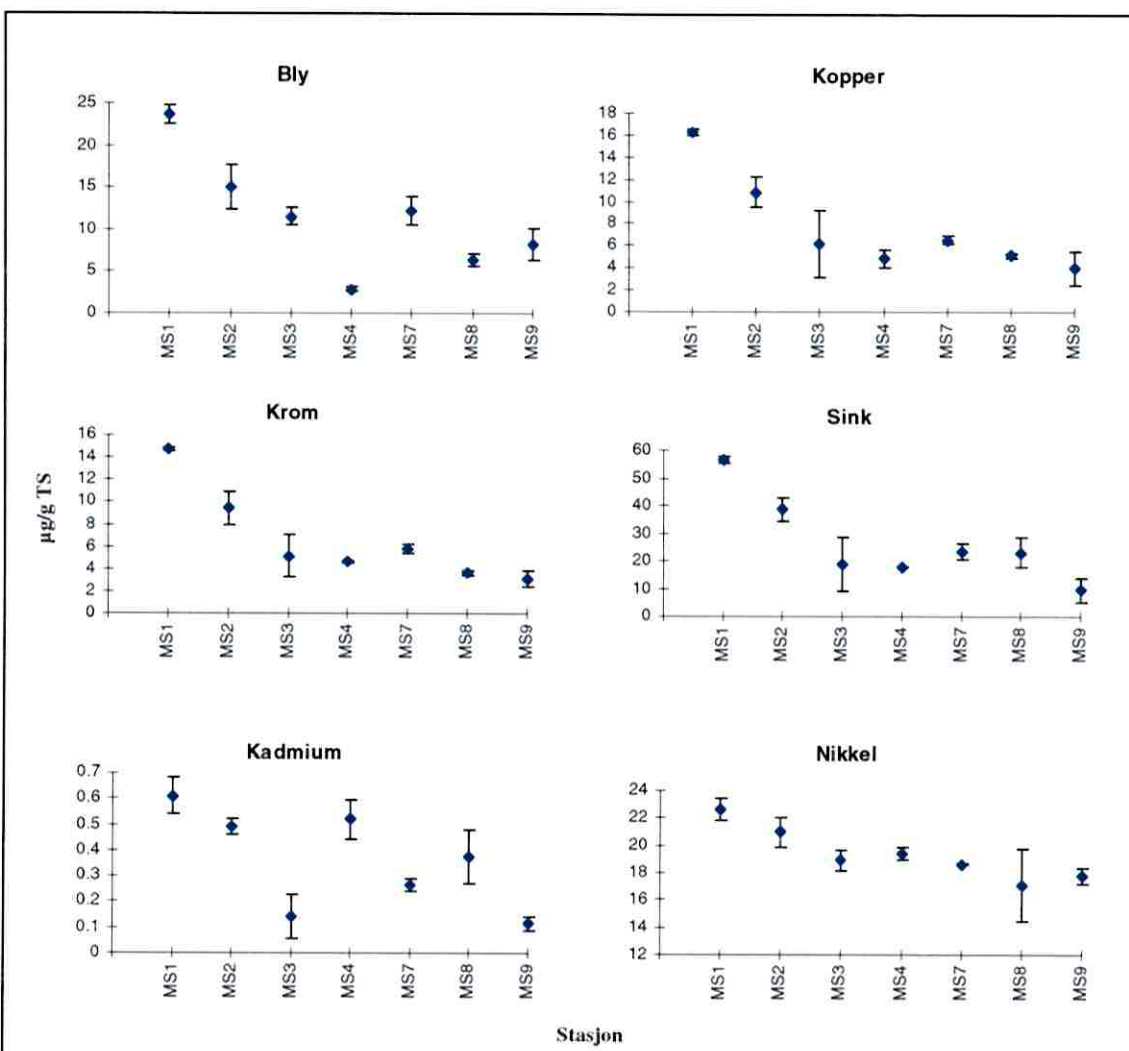
Figur 5. Organisk innhold, målt som glødetap, i overflatesediment ved Kollsnes gassanlegg i 1998. De enkelte punktene representerer middelverdier fra tre replikater på hver stasjon (fem replikater på MS9) og variasjonen mellom replikater er uttrykt med standard avvik (SD).

3.3 Metaller

De høyeste koncentrasjoner av tungmetaller ble målt på Stasjon MS1 (Figur 6). Som diskutert tidligere henger dette sammen med en anrikning av finpartikulært materiale i dette området. Alle verdiene, med unntak av enkelte verdier for kadmium, tilsvarer det som SFT klassifiserer som et *Ubetydelig til Lite forurensset område* (Molvær 1997).

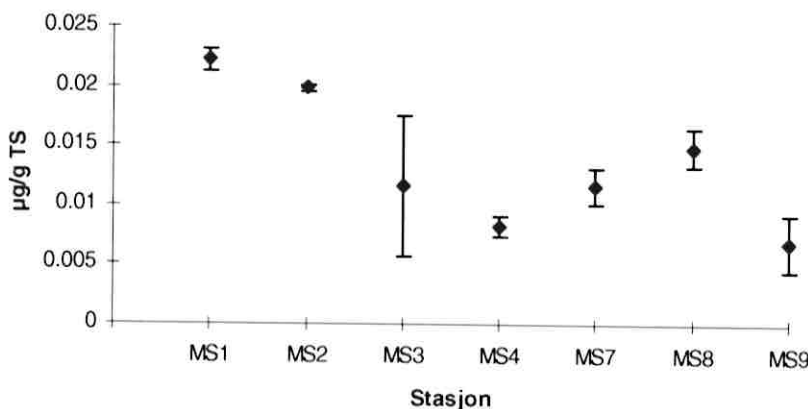
Kadmiuminnholdet har økt signifikant på enkelte stasjoner sammenlignet med undersøkelsene i 1995 og 1991. Sammenlignet med undersøkelsen i 1995 har kadmium innholdet økt signifikant på Stasjon MS1 og MS7. Sammenlignet med undersøkelsen i 1991 har kadmium verdiene økt signifikant på Stasjon MS2 og MS7. For kadmium er det bare tilstanden på Stasjon MS3 og MS9 som klassifiseres som *Ubetydelig til Lite forurensset*. Tilstanden på de resterende stasjonene klassifiseres som *Moderat forurensset*.

For de andre metallene er det liten variasjon mellom de tre undersøkelsene i 1991, 1995 og 1998, og eventuelle endringer i verdier mellom de tre undersøkelsene kan forklares utfra naturlig variasjon i området.



Figur 6. Resultater fra metallanalyser som er kjørt på ICP-MS. De enkelte punktene representerer middelverdier fra tre replikater på hver stasjon (fem replikater på MS9) og variasjonen mellom replikater er uttrykt med standard avvik (SD).

Verdiene fra kvikksølvanalysene (Figur 7) er generelt lavere sammenlignet med de tidligere undersøkelsene og ligger langt under hva STF regner som moderat forurensset ($< 0,15$).



Figur 7. Resultater fra kvikksølv analysen. De enkelte punktene representerer middelverdier fra tre replikater på hver stasjon (fem replikater på MS9) og variasjonen mellom replikater er uttrykt med standard avvik (SD).

3.4 Hydrokarboner

Resultatene fra analysen av total mengde hydrokarboner (THC) og total mengde armoatiske hydrokarboner (PAH) er vist i Tabell 6 og 7. Det ble analysert fem parallelle overflatesediment prøver på referansestasjonen (MS9), tre overflate sedimentprøver ble analysert ved de resterende stasjonene.

Innhold av hydrokarboner i sediment kan enten skyldes naturlige prosesser eller menneskelig påvirkning, hydrokarboner omsettes bakterielt i sedimentet. De målte verdiene for både THC og PAH analysene er høyest på Stasjon MS1, dette stemmer overens med andre målte parametre. I følge SFTs kriterier for klassifisering av tilstand kan Stasjon MS1 med hensyn på de målte PAH verdiene klassifiseres som *Moderat forurenset*, tilstanden på de resterende stasjonene klassifiseres som *Ubetydelig - Lite forurenset*. De dominerende komponentene i PAH analysen er usubstituerte aromatiske hydrokarboner, noe som tyder på bidrag av forbrenningsprodukter fra ufullstendig forbrenning av fossilt brensel. De målte THC verdiene tyder også på at Stasjon MS1 er påvirket i mindre grad. Det ble også målt relativt høye PAH og THC verdier på Stasjon MS2. Stasjon MS2 er plassert i Kvaliosen og en av de stasjonene som ligger nærmest gassanlegget.

Tabell 6. Resultat fra total hydrokarbonanalyse (THC) av sedimentet ved Kollsnes gassanlegg i 1998. Verdiene er gitt som mg/kg tørrvekt.

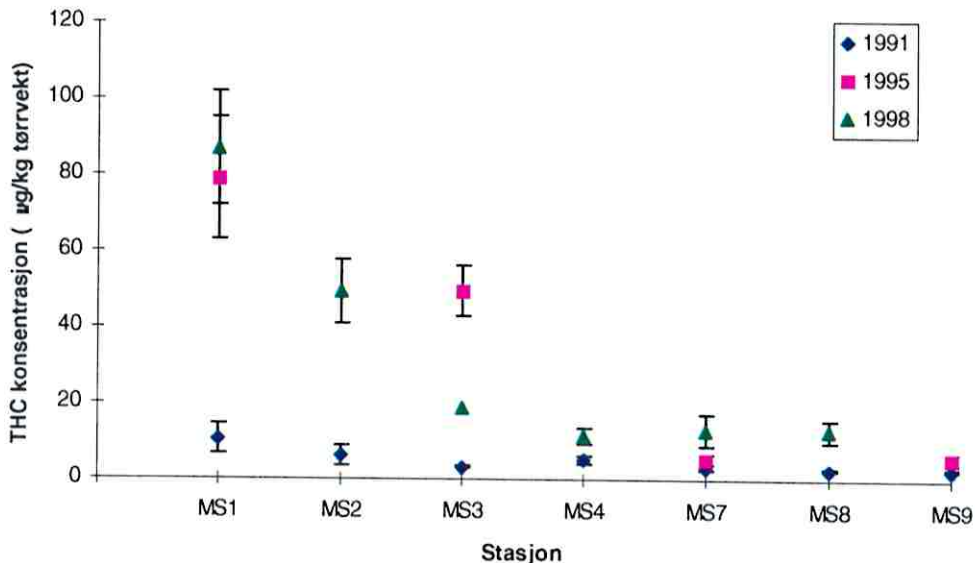
| Stasjon | Prøve 1 | Prøve 2 | Prøve 3 | Prøve 4 | Prøve 5 | Middel-verdi | SD |
|---------|---------|---------|---------|---------|---------|--------------|------|
| MS1 | 70 | 99 | 92 | | | 87,0 | 15,1 |
| MS2 | 56 | 40 | 52 | | | 49,3 | 8,3 |
| MS3 | 19 | - | - | | | | |
| MS4 | 11 | 14 | 10 | | | 11,7 | 2,1 |
| MS7 | - | 10 | 16 | | | | |
| MS8 | - | 15 | 11 | | | | |
| MS9 | - | - | - | - | - | | |

- : Mindre enn deteksjonsgrensen på 10 mg/kg.

Tabell 7. Resultat fra PAH analysene av sedimentet ved Kollsnes gassanlegg i 1998. Verdiene er gitt som µg/kg tørrvekt.

| Stasjon | Prøve 1 | Prøve 2 | Prøve 3 | Prøve 4 | Prøve 5 | Middel-verdi | SD |
|---------|---------|---------|---------|---------|---------|--------------|------|
| MS1 | 438,7 | 555,8 | 575,6 | | | 523,4 | 74,0 |
| MS2 | 244,7 | 195,1 | 239,2 | | | 226,3 | 27,2 |
| MS3 | 21,1 | 43,6 | 59,3 | | | 41,3 | 19,2 |
| MS4 | 43,6 | 41,1 | 33,1 | | | 39,3 | 5,5 |
| MS7 | 28,6 | 46,8 | 51,7 | | | 42,3 | 12,2 |
| MS8 | 88,3 | 126,3 | 187,4 | | | 134,0 | 50,0 |
| MS9 | 57,1 | 41,0 | 39,3 | 38,4 | 38,3 | 43,9 | 8,8 |

THC verdiene har økt på Stasjon MS1 sammenlignet med målingene i 1991, men verdiene er tilsvarende det som ble funnet i 1995 (Figur 8). Verdiene som ble målt på Stasjon MS2 er høye sammenlignet med målingene i 1991. Det ble ikke tatt prøver fra Stasjon MS2 i 1995 og det er derfor usikkert om økningen skyldes oppstart av gassanlegget. Resultatene på Stasjon MS1 tyder derimot på at oppstart av anlegget ikke har ført til økte THC verdier i sedimentet. På Stasjon MS3 er THC verdiene redusert sammenlignet med tidligere år, for de andre stasjonene er det ingen merkbare endringer.



Figur 8. Resultater fra total hydrokarbonanalsye (THC) i sedimentet ved Kollsnes gassanlegg plottet for 1991, 1995 og 1998. Variasjon mellom replikater er uttrykt med standard avvik (SD).

3.5 Bunndyr

Det ble samlet inn og analysert prøvemateriale fra i alt 40 grabbprøver á 0,1 m². Det ble til sammen funnet ca 8600 individ fordelt på 182 taxa. Tabell 8 viser oversikt over antall individ, antall taxa, diversitet og jevnhet på hver enkel stasjon (se Vedlegg 1 for fullstendig artsliste). Antall individ og antall taxa varierer en del fra stasjon til stasjon. Høyeste antall individ ble funnet på Stasjon MS4, mens færrest antall individ ble registrert på Stasjon MS1. Variasjoner i antall individ pr. stasjon er uttrykt ved standard avvik. De høye standard avvikene på enkelte stasjoner tyder på at området er svært heterogen, med store forskjeller innenfor små områder.

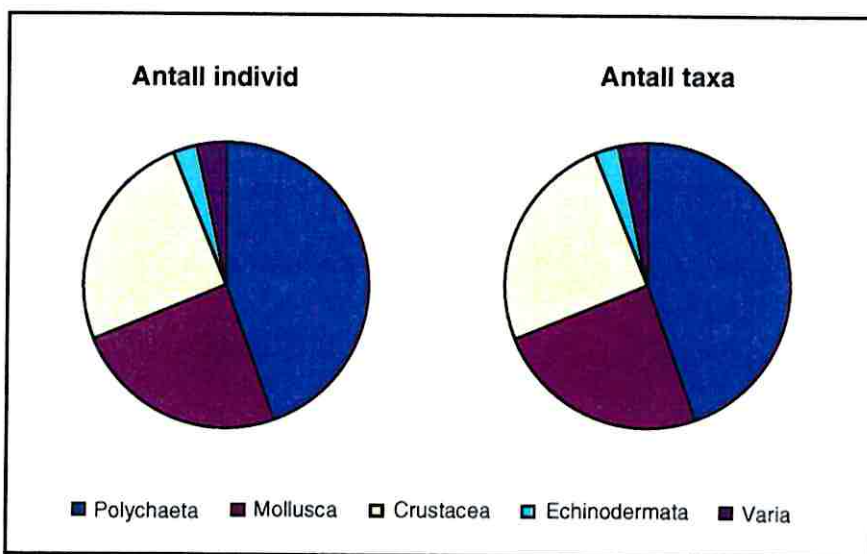
Jevnhet er et mål på hvor jevnt individene er fordelt mellom artene. Jevnheten er generelt høy på alle stasjonoene med unntak av Stasjon MS2 og MS4. Dette tyder på at faunaen i området ikke i særlig grad domineres av enkelt arter. De lave verdiene for jevnhet beregnet på Stasjon MS2 og MS4 skyldes hovedsakelig dominans av børstemarken *Myriochele oculata*. Dette er en av de mest vanligste børstemarkene i norske fjorder, og kan forekomme i tette bestander (Kirkegaard 1996). Arten bygger rør som er tett belagt med bunnmateriale og finnes på de fleste bunntyper, men foretrekker mudderbunn. (Se Vedlegg 2 for de mest tallrike taxa på hver enkel stasjon.)

Basert på prøvene som ble samlet inn i 1991 ble området ved Kollsnes betegnet som særlig artsrikt og med store populasjoner av flere arter (Moe m. fl. 1992). Sammenlignet med undersøkelsen i 1991 ble det generelt funnet færre arter og individ på de undersøkte stasjonene i 1998. Resultatene stemmer derimot bra med undersøkelsen utført av Johannessen m. fl. (1991).

Tabell 8. Antall individ, antall taxa, Shannon-Wieners diversitetsindeks og jevnhetsindeks for hver stasjon. Klassifisering av tilstand er gitt i henhold til SFT Molvær (1997). Verdiene baserer seg på 5 replikate prøver på alle stasjonene unntatt referansestasjonen (MS9) hvor det ble tatt 10 replikat prøver. Variasjoner i antall individ og antall arter pr stasjon er uttrykt ved standard avvik (SD).

| Stasjon | Antall individ | SD | Antall taxa | SD | Diversitet | SFT klasse | Jevnhet |
|---------|----------------|-----|-------------|-----|------------|------------|---------|
| MS1 | 255 | 51 | 37 | 3,2 | 4,4 | Meget God | 0.84 |
| MS2 | 1685 | 175 | 74 | 6,7 | 3,3 | God | 0.53 |
| MS3 | 679 | 136 | 78 | 7,1 | 5,0 | Meget God | 0.79 |
| MS4 | 2053 | 411 | 64 | 8,7 | 2,4 | Mindre god | 0.4 |
| MS7 | 1842 | 153 | 59 | 7,9 | 3,56 | God | 0,6 |
| MS8 | 626 | 125 | 76 | 9,2 | 4,9 | Meget God | 0.78 |
| MS9 | 1475 | 48 | 85 | 8,9 | 5,0 | Meget God | 0.78 |

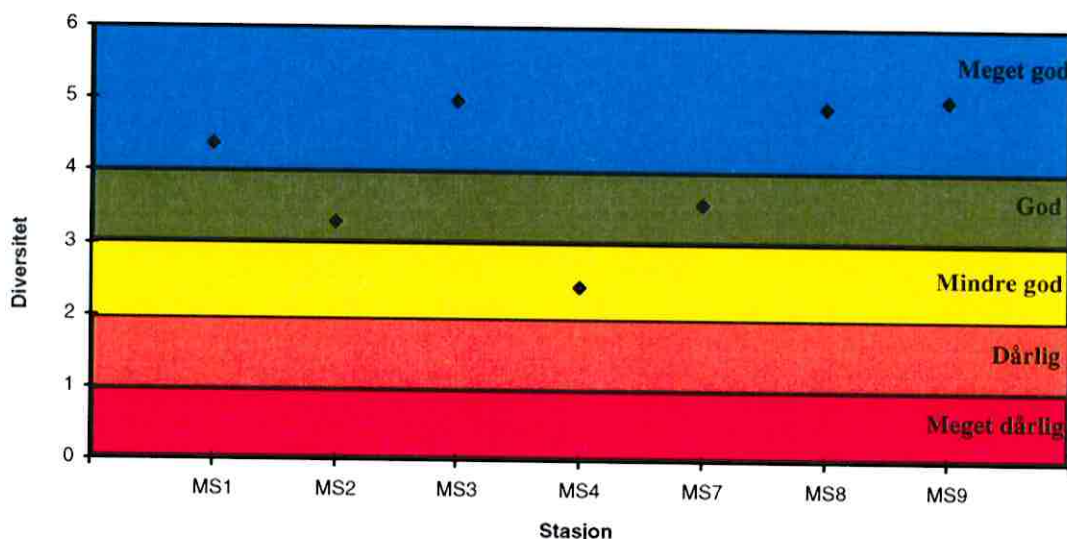
Børstemarkene (polychaetene) dominerer materialet både med hensyn på antall taxa og antall individ (Figur 9). Molluskene er nest mest dominerende med hensyn på antall individ, med hensyn på antall taxa er mollusker og krepsdyr omtrent like dominante. Børstemark er vanligvis den dominante gruppen i kystnære marine miljø. Denne gruppen var også den dominante ved undersøkelsen i 1991.



Figur 9. Fordelingen av taxa og individ i faunagrupper ved Kollsnes i 1998.

Diversiteten målt som Shannon-Wieners diversitetsindeks for hver stasjon er vist i Figur 10. Tilstanden på Stasjon MS2 og MS7 klassifiseres som *God*, mens tilstanden på Stasjon MS4 klassifiseres som *Mindre god*. Tilstanden på de resterende stasjonene klassifiseres som *Meget god*. For alle stasjonene, unntatt Stasjon MS4, er klassifisering av tilstand samsvarende med undersøkelsen i 1991. Stasjon MS4 ligger sør for anlegget i Sængosen (Figur 1) og er en av stasjonene som er plassert nærmest gassanlegget. Det

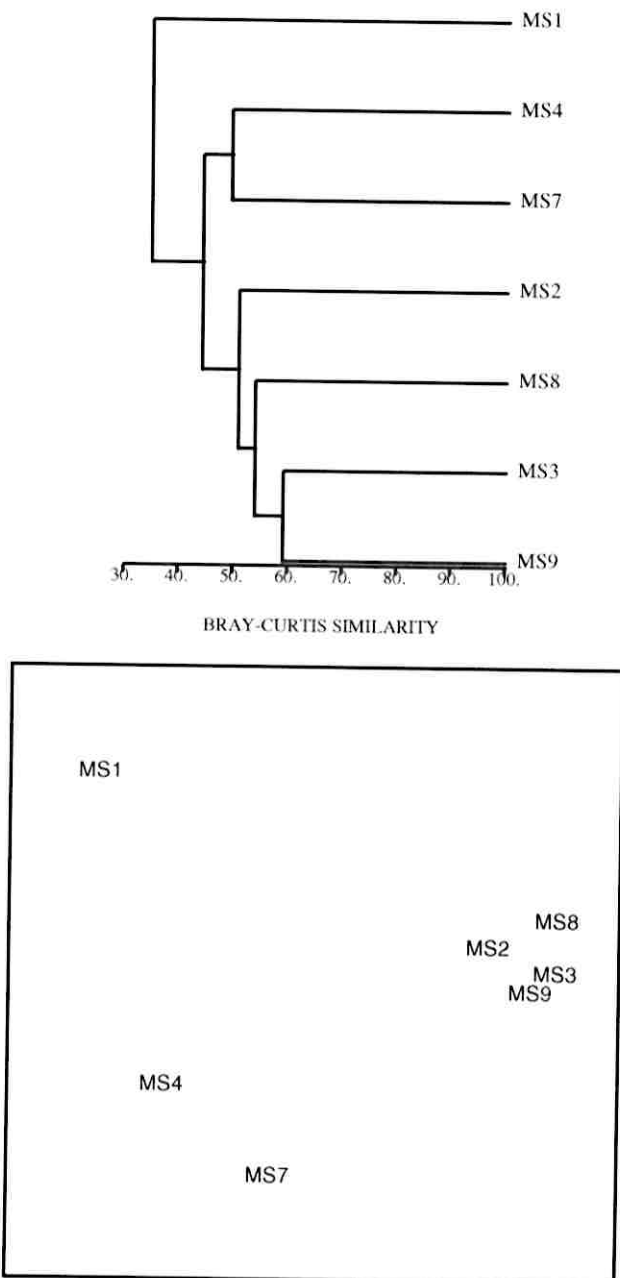
ble funnet en del tang og tare rester på Stasjon MS4, disse kan legge seg som et lokk på bunn og "kvele" dyrelivet. Da utslipper fra gassanlegget til Sængosen er ubetydelig er redusert tilførsel av oksygen er den mest sannsynlige årsaken til endring av tilstand på Stasjon MS4.



Figur 10. Diversitet på stasjonene ved Kollsnes gassanlegg i 1998. Klassifisering av tilstand er gitt i henhold til SFT Molvær (1997). Verdiene baserer seg på 5 replikate prøver på alle stasjonene unntatt referansestasjonen (MS9) hvor det ble tatt 10 replikate prøver.

De multivariate analysene er utført for å sammenligne hver enkelt stasjon basert på artssammensetning. Resultatene fra Cluster- og MDS analysene viser god overensstemmelse (Figur 11). Stress i MDS analysen er 0,01, som indikerer en meget god gjengivelse av dataene.

I følge resultatene fra de multivariate analysene ser ikke plassering i forhold til gassanlegget ut til å ha betydning når en ser på gruppering av stasjonene. Stasjon MS1 skiller seg klart ut sammenlignet med de andre stasjonene. De to stasjonene i Sængosen, Stasjon MS4 og MS7 gruppertes sammen. Referansestasjonen (MS9) skiller seg ikke ut i forhold til de andre stasjonene, og gruppertes sammen med Stasjon MS2, MS3 og MS8.



Figur 11. Resultat fra Cluster og MDS analysene. Verdiene baserer seg på 5 replikate prøver på alle stasjonene unntatt referansestasjonen (MS9) hvor det ble tatt 10 replikate prøver.

4 Konklusjon

Stasjon MS1, som ligger innerst i Kvaliosen, skiller seg klart ut fra de andre stasjonene med hensyn på alle de målte kjemiske parametrene. Sedimentet på stasjonen inneholdt den høyeste andelen finpartikulært materiale og hadde høyest glødetap. De høyeste konsentrasjonene av metaller og hydrokarboner ble også målt på Stasjon MS1. Stasjon MS1, ligger i indre del av Kvaliosen et område med lavere strømhastighet sammenlignet med de andre undersøkte områdene. Årsaken til de høye konsentrasjonene skyldes derfor sannsynligvis naturlige forhold i sedimentet og ikke påvirkninger fra gassanlegget.

Sedimentet på de undersøkte stasjonene med unntak av Stasjon MS1 bestod hovedsakelig av grove sandpartikler. Det grove sedimentet på de undersøkte stasjonene indikerer gode strømforhold og derfor liten sedimentasjon i området. De målte verdiene for organisk innhold er lave og ligger innenfor det som betegnes som normalt i kystnære områder. Dette tyder på at området tilføres lite organisk materiale. Resultatene fra metallanalysene, med unntak av enkelte verdier for kadmium, er under de verdier som tilsvarer et *Ubetydelig til Lite forurenset* område i følge SFTs klassifisering. De høyeste verdiene fra hydrokarbonanalysene ble målt på stasjon MS1 og MS2, og tilstanden på MS1 beskrives som *Moderat forurenset*. Resultatene fra de andre stasjonene tyder ikke på at området i betydelig grad er forurenset av hydrokarboner.

Resultatene fra bunndyrsanalyseene indikerer at området rundt Kollsnes er artsrikt og tilstanden i sedimentet er med unntak av noen områder *Meget god*. Resultatene tyder også på at området er svært heterogent, med store forskjeller innen avgrensede områder.

Det foreliggende arbeid tyder ikke på at oppstart av Kollsnes anlegget har påvirket sjøbunnen. Kvaliosen er derimot et sedimentasjonsbasseng, og utslipps til bassenget bør overvåkes.

5 Referanser

- Buchanan, J.B. 1984. Sediment analysis. - Pp 41-65 in: N.A. Holme & A.D. McIntyre (eds). *Methods for the study of marine benthos*. Blackwell Scientific Publications. 387 pp.
- Carr, M. 1994. - *PRIMER; Plymouth Routines in Multivariate Ecological Research*. - Plymouth Marine Laboratory.
- Clarke, K. R. 1993. Non-parametric multivariate analyses of changes in community structure. - *Australian Journal of Ecology*. 18: 117-143.
- Clarke, K. R. & R. M. Warwick 1994. Similarity-based testing for community pattern: the two-way layout with no replication. - *Marine Biology*. 118: 167.
- Field, J.G., K.R. Clarke & R.M. Warwick 1982. A practical strategy for analysing multispecies distribution patterns. - *Marine Ecology Progress Series* 8:37-52.
- Gray, J. S., M. Aschan, M. R. Carr, K. R. Clarke, R. H. Green, T. H. Pearson, R. Rosenberg & R. M. Warwick 1988. Analysis of community attributes of the benthic macrofauna of Frierfjord/Langesundsfjord and in a mesocosm experiment. - *Marine Ecology Progress Series* 46: 151-165.
- Johannessen, P. J., Ø. Tvedten & H. Botnen 1991. *Resipientundersøkelse i Kvaliosen i Øygarden kommune*. - IFM rapport 33, Institutt for Fiskeri- og Marinbiologi, Universitetet i Bergen. 25 s.
- Kirkegaard, J. B. 1996. *Danmarks fauna 86; Havbørsteorme II*. - Dansk Naturhistorisk forening, København.
- Magurran, A. E. 1988. - *Ecological diversity and its measurement*. Croom Helm, London.

Moe, K. A., G. M. Skeie, T. H. Pearson, J. Klungsøyr, K. Westrheim & E. Lystad 1992. *Sublitorale overflatesedimenter, Kollsnes Øygarden 1991 - Tungmetaller, hydrokarboner og fauna.* - CMS-082-2.

Molvær, J., J. Knutzen, J. Magnusson, B. Rygg, J. Skei & J. Sørensen 1997. *Klassifisering av miljøkvalitet i fjorder og kystfarvann. Veileding.* - SFT 97:03.

Morrisey, D. J., L. Howitt, A. J. Underwood & J. S. Stark 1992. Spatial variation in soft-sediment benthos. - *Marine Ecology Progress Series* 81: 197-204.

Myhrvold, A., R. K. Lein, A. Skogen & K. F. Hansen 1996. - *Oppfølgende miljøundersøkelse på Kollsnes 1995.* Rapport RF-Rogalandsforskning. 96/169a-d.

Pielou, E. C. 1966. Species-diversity and pattern-diversity in the study of ecological succession. - *Journal of Theoretical Biology* 10: 370-383.

Shannon, C. E. & W. Weaver 1963. - *The mathematical theory of communication,* University of Illinois Press, Urbana.

Vedlegg

Vedlegg 1 Artsliste

Vedlegg 2 Dominerende arter på stasjonene

Vedlegg 3 Resultater fra partikkelfordeling analysen

Vedlegg 4 Rapport fra metall- og glødetapsanalysen

Vedlegg 5 Rapport fra hydrokarbonanalysen

Vedlegg 1 Artsliste

Vedlegg 1. Artssiste fra sediment undersøkelsen utført ved Kollsnes gassanlegg i 1998. Provene er tatt med 0.1 m² grabb. Artsnavn merket med * er ikke med i den videre tallbehandling.

| | MS1 | | | | | MS2 | | | | | MS3 | | | | | MS4 | | | | | MS8 | | | | | |
|----------------------------|-------|-------|-------|-------|-------|-----|-------|-------|---------|-------|-----|-------|-------|-------|-------|-------|-----|-------|-------|-------|-------|-------|-----|-------|-------|----|
| | MS1.1 | MS1.2 | MS1.3 | MS1.4 | MS1.5 | SUM | MS2.1 | MS2.2 | MS2.3-4 | MS2.5 | SUM | MS3.1 | MS3.2 | MS3.3 | MS3.4 | MS3.5 | SUM | MS4.1 | MS4.2 | MS4.3 | MS4.4 | MS4.5 | SUM | MS8.1 | MS8.2 | |
| NEMATODA | | | | | | | | | | | | | | | | | | | | | | | | | | |
| *Nematoda | 9 | 13 | 84 | 18 | 35 | 159 | 7 | 1 | 9 | 1 | 18 | 64 | | 5 | 188 | 226 | 483 | 4 | 5 | 13 | 10 | 19 | 51 | | 6 | |
| CNIDARIA | | | | | | | | | | | | | | | | | | | | | | | | | | |
| Cnidaria indet | | | | | | | | | 1 | | 1 | 1 | | 1 | | | 1 | | | | | | | | | 2 |
| Edwardsiidae indet | | | | | | | | | | | | 6 | 3 | 3 | 3 | | 13 | | | | | | | | | |
| Cerianthus sp | | | | | | | | | | | | | | | | | | | 1 | | | | | | | |
| NEMERTINI | | | | | | | | | | | | | | | | | | | | | | | | | | |
| Nemertini indet | 1 | 1 | | 2 | | | 4 | 10 | 9 | 12 | 5 | 36 | 2 | 14 | 6 | 4 | 4 | 30 | 4 | 2 | | 5 | 11 | 1 | 1 | |
| SIPUNCULIDA | | | | | | | 2 | 1 | 2 | 2 | | 5 | 1 | | | | | | | | | | | | | |
| Sipuncula indet | 1 | 1 | | | | | | | | | | | | | | | | | | | | | | | | |
| OLIGOCHAETA | | | | | | | | | | | | | | | | | | | | | | | | | | |
| Oligochaeta indet | 8 | 10 | 8 | 4 | 3 | 33 | | | 1 | 54 | 55 | 6 | 3 | | 9 | 77 | 120 | 171 | 78 | 154 | 600 | 1 | | | | |
| POLYCHAETAE | | | | | | | | | | | | | | | | | | | | | | | | | | |
| Polychaetae indet | | | | | | | | | | | | | | | | | | | | | | | | | | |
| Paramphionome jeffreysii | | | | | | | | | | | | | | | | | | | | | | | | | | |
| Pholzia inornata | 1 | | | | | | 1 | 2 | 3 | 1 | 2 | 8 | | 16 | 23 | 15 | 20 | 74 | 3 | 2 | 5 | 1 | 3 | 14 | 4 | 17 |
| Polynoidae indet | | | | | | | 2 | | | | 2 | 1 | | | | | | 1 | | | | | | | | |
| Harmothoe sp | | | | | | | 5 | 27 | 8 | 12 | 52 | 15 | 21 | 5 | 5 | | 46 | 1 | 1 | 4 | 6 | 4 | | | 18 | |
| Pisone remota | | | | | | | | | | | | | | | | | | | | | | | | | | |
| Hesionidae indet | | | | | | | | | | | | | | | | | | | | | | | | | | |
| Kefersteinia cirrata | | | | | | | 3 | 2 | 4 | | 9 | 5 | 3 | | 3 | 11 | 1 | | 4 | 5 | 2 | 20 | | | | 2 |
| Nerimya punctata | | | | | | | 3 | 1 | 2 | 6 | 1 | | | | 1 | 1 | | | | | | | | | | 3 |
| Eulalia sp | | | | | | | | | | | | | | | | | | | | | | | | | | |
| Eumida sp | | | | | | | | | | | | | | | | | | | | | | | | | | |
| Niophyllum cf foliosum | | | | | | | | | | | | | | | | | | | | | | | | | | |
| Ectone longa | 2 | 2 | | | | 4 | 1 | | 2 | 1 | 4 | 2 | | | 4 | 6 | | | 1 | 1 | 2 | 1 | 2 | 1 | | |
| Ectone sp | | | | | | | | | | | | | | | | | | | | | | | | | | |
| Phyllodocidae groenlandica | 2 | | | | | 2 | | | 1 | | 1 | | | | | | 1 | 3 | 2 | 1 | 2 | 9 | | | 1 | |
| Phyllodocidae indet | | | | | | | | | | | | | | | | | | | | | | | | | | |
| Typosyllis sp | 1 | 1 | 1 | 2 | | 4 | 4 | 18 | 11 | 6 | 39 | 2 | 2 | 2 | 1 | 7 | 2 | 1 | | 3 | 5 | 11 | | | 3 | |
| Exogone sp | 1 | | | | | 1 | | 2 | 1 | 1 | 4 | 2 | | 2 | 2 | 6 | 1 | | | | | | | | 1 | |
| Syllidae indet | | | | | | | | | | | | | | | | | | | | | | | | | | |
| Sereidae indet | | | | | | | | | | | | | | | | | | | | | | | | | | |
| Seaphys sp | | | | | | | 1 | | 1 | | 2 | 1 | 1 | | | 2 | | | | | | | | | 4 | |
| Glycera alba | 2 | 1 | 2 | | | 5 | 1 | 1 | 2 | 1 | 5 | 3 | 6 | 3 | 13 | 11 | 36 | 1 | 1 | 1 | 2 | 4 | 18 | 2 | | |
| Goniada cf maculata | | | | | | | | | 1 | 1 | 2 | | | | | | | | | | | | 1 | 1 | | |
| Sphaerodoridae indet | | | | | | | | | | | | | | | | | | | | | | | | | | |
| Lumbineris spp | | | | | | | | | | | | | | | | | | | | | | | | | | |
| Nothria conchylega | | | | | | | | | | | | | | | | | | | | | | | | | | |
| Eunice pennata | | | | | | | | | | | | | | | | | | | | | | | | | | |
| Protodriluska kefersteini | | | | | | | 2 | 2 | 4 | | 8 | 1 | 3 | | | 4 | | | | | | | | | | |
| Schistomeringos eliasoni | | | | | | | | | | | | | | | | | | | | | | | | | | |
| Scoloplos armiger | 4 | 1 | | | | 2 | 7 | 5 | 1 | 12 | 18 | 5 | 5 | 1 | 1 | 1 | 5 | 13 | 32 | 22 | 20 | 28 | 115 | 5 | | |
| Articida sp | 1 | | | | | 1 | | | | | 5 | 5 | 5 | 1 | 1 | 1 | 4 | | | | | | | | | |
| Paranais spp | 2 | 5 | 1 | 5 | | 13 | 87 | 96 | 155 | 60 | 398 | 2 | 23 | 35 | 3 | 1 | 64 | 1 | 2 | | 1 | 4 | 4 | 6 | | |
| Aonides paucibranchiata | | | | | | | | | | | | | | | | | 1 | | | | | | | | | |
| Polydora sp | | | | | | | | | | | | | | | | | | | | | | | | | | |
| Prionospio spp | 1 | 2 | 3 | 2 | 1 | 8 | 2 | 2 | 2 | 1 | 7 | 2 | | | | 4 | 6 | 8 | 10 | 10 | 8 | 36 | 5 | | | |
| Malacoceros spp | 1 | | | | | 2 | 3 | | | | | | | | | | 10 | 2 | 2 | 1 | 1 | 15 | | | | |
| Sipophanes krayeri | | | | | | | | | | | | | | | | | | | | | | | | | | |
| Sipophanes bombyx | | | | | | | | | | | | | | | | | | | | | | | | | | |
| Spionidae indet | 1 | | | | | | | | | | | | | | | | | | | | | | | | | |
| Cirratus filiformis | | | | | | | 1 | | 1 | | 1 | | | | | | | | | | | | | | | |
| Chaetozone setosa | | | | | | | 5 | 4 | 13 | | 22 | | | | 4 | | | | | | | | | | | |
| Tharyx multiflanchis | | | | | | | 2 | | | | 5 | | 1 | | | 1 | | | | | | | | | | |
| Tharyx spp | 1 | 1 | | | | 2 | | | | | 5 | | 1 | | | 1 | | 2 | 2 | 1 | 1 | 1 | 1 | 1 | | |
| Caulieriella sp | | | | | | | | | | | | | | | | | | | | | | | | | | |
| Cirratulidae indet | | | | | | | | | | | | | | | | | | | | | | | | | | |
| Chaetopterus sp | | | | | | | | | | | | | | | | | | | | | | | | | | |
| Pherusa falcata | | | | | | | | | | | | | | | | | | | | | | | | | | |
| Scalibregma inflatum | | | | | | 1 | 1 | 4 | | 15 | 19 | 1 | 1 | 1 | 1 | | 3 | | | | | | | | | |
| Diplocirrus glaucus | 2 | 3 | 2 | 1 | | 8 | | 1 | 1 | | 2 | | | | | | | | | | | | | | 1 | |
| Lipobranchus jeffreysii | | | | | | | | | | | | | | | | | | | | | | | | | | |
| Opheolina acuminata | 2 | 2 | | | | 4 | | | 1 | 1 | 2 | | 2 | | | 5 | | | | | | | | | | |
| Notomastus latericeus | 3 | | | | | 3 | | | | | 22 | 24 | 25 | 3 | 74 | | 2 | 2 | 1 | 8 | 33 | 1 | 3 | | 12 | |
| Mediomastus fragilis | | | | | | | | | | | | | | | | | | | | | | | | | | |
| Capitella capitata | 1 | | | | | 6 | | | | | 74 | | 13 | 8 | 10 | 31 | 4 | | 20 | 1 | 8 | 8 | 24 | | | |
| Heteromastus filiformis | | | | | | | | | | | | | | | | | | | | | | | | | | |
| Myriochele oculata | 1 | 4 | 13 | 4 | 11 | 33 | 213 | 180 | 268 | | 661 | 1 | 5 | 3 | 1 | 10 | 425 | 270 | 318 | 4 | 10 | 1027 | | | | |
| Owenia fusiformis | | | | | | 41 | 10 | 16 | 9 | 76 | 4 | 1 | 1 | 2 | 1 | 9 | 4 | | 2 | 2 | 8 | 8 | 4 | | | |
| Praxiella sp | | | | | | 3 | | | | | | | | | | | | | | | | | | | | 3 |
| Clymenura sp | | | | | | | | | | | | | | | | | | | | | | | | | | |
| Rhodine sp | | | | | | | | | | | | | | | | | | | | | | | | | | |
| Nicomache sp | | | | | | | | | | | | | | | | | | | | | | | | | | |
| Maldanidae indet | | | | | | | 3 | | | | 1 | | 4 | | | | | | | | | | | | 1 | |
| Pectinaria auricoma | | | | | | | | | | | | | | | | | | | | | | | | | | 1 |
| Pectinaria koreni | 1 | | | | | 1 | | | | | | | | | | | | | | | | 2 | 1 | | | |
| Melmina cristata | | | | | | | | | | | | | | | | | | | | | | | | | | |

Vedlegg 1. Artsliste fra sediment undersøkelsen utført ved Kollsnes gassanlegg i 1998. Provene er tatt med 0,1 m² crabbe. Artsnavn merket med * er ikke med i den videnskapelige oversikten.

| | MS1 | MS1.1 | MS1.2 | MS1.3 | MS1.4 | MS1.5 | SUM | MS2 | MS2.1 | MS2.2 | MS2.3-4 | MS2.5 | SUM | MS3 | MS3.1 | MS3.2 | MS3.3 | MS3.4 | MS3.5 | SUM | MS4 | MS4.1 | MS4.2 | MS4.3 | MS4.4 | MS4.5 | SUM | MS8 | MS8.1 |
|---------------------------|-----|-------|-------|-------|-------|-------|-----|-----|-------|-------|---------|-------|-----|-----|-------|-------|-------|-------|-------|-----|-----|-------|-------|-------|-------|-------|-----|-----|-------|
| Gammaridae indet | | | | | | | | | | | | | | | | | | | | | | | | | | | | | |
| Ampelisca cf tenuicornis | 2 | | | | 1 | 2 | 5 | | | | | | 1 | | | | | | | | | | | | | 3 | 4 | 1 | |
| Ampelisca spp | | | | | 3 | | 3 | | | | | | | | | | | | | | | | | | | 3 | 4 | 7 | |
| Ampelisca sp. 1 | | | | | | | | | | | | | | | | | | | | | | | | | | | | | 1 |
| Ampelisca sp. 2 | | | | | | | | | | | | | | | | | | | | | | | | | | | | | |
| Ampeliscidae indet | | | | | | | | | | | | | | | | | | | | | | | | | | | | | |
| Amphipoda indet | | | | | | | | | | | | | | | | | | | | | | | | | | | | | |
| Aoridae indet | | | | | | | | | | | | | | | | | | | | | | | | | | | | | |
| Atylus vedlorensis | | | | | | | | | | | | | | | | | | | | | | | | | | | | | |
| Argissa hamatipes | | | | | | | | | | | | | | | | | | | | | | | | | | | | | |
| Caprellidae indet | | | | | | | | | | | | | | | | | | | | | | | | | | | | | |
| Normana quadrifurcata | | | | | | | | | | | | | | | | | | | | | | | | | | | | | |
| Tryphosites longipes | | | | | | | | | | | | | | | | | | | | | | | | | | | | | |
| Westwoodilla caccula | | | | | | | | | | | | | | | | | | | | | | | | | | | | | |
| Hippomedon denticulatus | | | | | | | | | | | | | | | | | | | | | | | | | | | | | |
| Liljeborgia cf. kinahanii | | | | | | | | | | | | | | | | | | | | | | | | | | | | | |
| Liljeborgiidae indet. | | | | | | | | | | | | | | | | | | | | | | | | | | | | | |
| Synchelididae sp | | | | | | | | | | | | | | | | | | | | | | | | | | | | | |
| Lysianassidae indet | | | | | | | | | | | | | | | | | | | | | | | | | | | | | |
| Lysianassidae sp. 1 | | | | | | | | | | | | | | | | | | | | | | | | | | | | | |
| Lembos longipes | | | | | | | | | | | | | | | | | | | | | | | | | | | | | |
| Oedicerotidae indet | | | | | | | | | | | | | | | | | | | | | | | | | | | | | |
| cf Orchomene sp | | | | | | | | | | | | | | | | | | | | | | | | | | | | | |
| Monoculodes sp | | | | | | | | | | | | | | | | | | | | | | | | | | | | | |
| Ischyroceridae indet | | | | | | | | | | | | | | | | | | | | | | | | | | | | | |
| Cheiroractus sp | | | | | | | | | | | | | | | | | | | | | | | | | | | | | |
| Eusirus cf propinquus | | | | | | | | | | | | | | | | | | | | | | | | | | | | | |
| Uristes umbonatus | | | | | | | | | | | | | | | | | | | | | | | | | | | | | |
| Nebalia bipes | | | | | | | | | | | | | | | | | | | | | | | | | | | | | |
| Phoxocephalidae indet | | | | | | | | | | | | | | | | | | | | | | | | | | | | | |
| cf. Paraphoxus oculatus | | | | | | | | | | | | | | | | | | | | | | | | | | | | | |
| Isopoda | | | | | | | | | | | | | | | | | | | | | | | | | | | | | |
| Idiothea sp. | | | | | | | | | | | | | | | | | | | | | | | | | | | | | |
| Cirrolana cf. Borealis | | | | | | | | | | | | | | | | | | | | | | | | | | | | | |
| Gnathia sp | | | | | | | | | | | | | | | | | | | | | | | | | | | | | |
| Brachyura | | | | | | | | | | | | | | | | | | | | | | | | | | | | | |
| Brachyura indet | | | | | | | | | | | | | | | | | | | | | | | | | | | | | |
| Ebalia cf. Tuberosa | | | | | | | | | | | | | | | | | | | | | | | | | | | | | |
| Macropipus depurator | | | | | | | | | | | | | | | | | | | | | | | | | | | | | |
| Hyas coarctatus | | | | | | | | | | | | | | | | | | | | | | | | | | | | | |
| MOLLUSCA | | | | | | | | | | | | | | | | | | | | | | | | | | | | | |
| Polyplacophora | | | | | | | | | | | | | | | | | | | | | | | | | | | | | |
| Leptochiton asellus | | | | | | | | | | | | | | | | | | | | | | | | | | | | | |
| Prosobranchia | | | | | | | | | | | | | | | | | | | | | | | | | | | | | |
| Gibbula tumida | | | | | | | | | | | | | | | | | | | | | | | | | | | | | |
| Lacuna vincta | | | | | | | | | | | | | | | | | | | | | | | | | | | | | |
| Hydrobia ulvae | | | | | | | | | | | | | | | | | | | | | | | | | | | | | |
| Hydrobia ventrosa | | | | | | | | | | | | | | | | | | | | | | | | | | | | | |
| Lumaria alderi | | | | | | | | | | | | | | | | | | | | | | | | | | | | | |
| Mangelia attenuata | | | | | | | | | | | | | | | | | | | | | | | | | | | | | |
| Aclis sp (cf minor) | | | | | | | | | | | | | | | | | | | | | | | | | | | | | |
| Opistobranchia | | | | | | | | | | | | | | | | | | | | | | | | | | | | | |
| Ebala nitidissima | | | | | | | | | | | | | | | | | | | | | | | | | | | | | |
| Cylchima cylindracea | | | | | | | | | | | | | | | | | | | | | | | | | | | | | |
| Cylchima alba | | | | | | | | | | | | | | | | | | | | | | | | | | | | | |
| Aplysia punctata | | | | | | | | | | | | | | | | | | | | | | | | | | | | | |
| Bivalvia | | | | | | | | | | | | | | | | | | | | | | | | | | | | | |
| Mytilus edulis | | | | | | | | | | | | | | | | | | | | | | | | | | | | | |
| Modiolula phaeolina | | | | | | | | | | | | | | | | | | | | | | | | | | | | | |
| Limaria loscombi | | | | | | | | | | | | | | | | | | | | | | | | | | | | | |
| Limatula gwynni | | | | | | | | | | | | | | | | | | | | | | | | | | | | | |
| Limatula subauriculata | | | | | | | | | | | | | | | | | | | | | | | | | | | | | |
| Palliolaria tigerrinum | | | | | | | | | | | | | | | | | | | | | | | | | | | | | |
| Lucinoma borealis | 2 | 4 | 6 | 5 | 1 | 18 | | | | | | | | | | | | | | | | | | | | | | | |
| Thayaira flexuosa | 13 | 4 | 6 | 3 | 5 | 31 | 4 | | | | | | | | | | | | | | | | | | | | | | |
| Thayaira sarcii | 3 | | | 3 | | 6 | 2 | 1 | 5 | | | | | | | | | | | | | | | | | | | | |
| Montacuta tenella | | | | | | | 1 | | | | | | | | | | | | | | | | | | | | | | |
| Astarte montagui | | | | | | | 2 | | | | | | | | | | | | | | | | | | | | | | |
| Astarte sulcata | | | | | | | | | | | | | | | | | | | | | | | | | | | | | |
| Cerastoderma minimum | | | | | | | | | | | | | | | | | | | | | | | | | | | | | |
| Cerastoderma ovale | | | | | | | | | | | | | | | | | | | | | | | | | | | | | |
| Spisula subtruncata | 1 | 1 | | | | | 3 | | | | | | | | | | | | | | | | | | | | | | |
| Fabulina fabula | | | | | | | | | | | | | | | | | | | | | | | | | | | | | |
| Macoma calcarea | 2 | 5 | 5 | 6 | 2 | 20 | | | | | | | | | | | | | | | | | | | | | | | |
| Abra alba | | 1 | 1 | | | 2 | | | | | | | | | | | | | | | | | | | | | | | |
| Abra nitida | | | | | | 1 | | | | | | | | | | | | | | | | | | | | | | | |
| Abra prismatica | 3 | 2 | 1 | 1 | 3 | 10 | | | | | | | | | | | | | | | | | | | | | | | |
| Turtonia minuta | | | | | | | | | | | | | | | | | | | | | | | | | | | | | |
| Chamelea striatula | | | | | | | | | | | | | | | | | | | | | | | | | | | | | |
| Timoclea ovata | | | | | | | | | | | | | | | | | | | | | | | | | | | | | |
| Mya sp juv (cf truncata) | | | | | | | 1 | | | | | | | | | | | | | | | | | | | | | | |
| Mya truncata | | | | | | | | | | | | | | | | | | | | | | | | | | | | | |
| Corbula gibba | 1 | | | | | 2 | 1 | 4 | | | | | | | | | | | | | | | | | | | | | |
| Thracia phaeolina | | | | | | | | | | | | | | | | | | | | | | | | | | | | | |
| Thracia villouscula | | | | | | | | | | | | | | | | | | | | | | | | | | | | | |
| Scaphopoda | | | | | | | | | | | | | | | | | | | | | | | | | | | | | |
| Antalis entale | | | | | | | | | | | | | | | | | | | | | | | | | | | | | |
| Cephalopoda | | | | | | | | | | | | | | | | | | | | | | | | | | | | | |
| *Rosso macrosoma | | | </ | | | | | | | | | | | | | | | | | | | | | | | | | | |

Vedlegg 1. Artsliste fra sediment undersøkelsen utført ved Kollsnes gassanlegg i 1998. Prøvene er tatt med 0.1 m^2 grabb. Artsnavn merket med * er ikke med i den videre tallbehandling.

Vedlegg 1. Artsliste fra sediment undersøkelsen utført ved Kollsnes gassanlegg i 1998. Prøvene er tatt med 0.1 m² grabb. Artsnavn merket med * er ikke med i den videre tallbehandling.

| | MS8 | | | | SUM | MS9 | | | | | | | | | | SUM | |
|-----------------------------|-------|-------|-------|-----|-----|-------|-------|-------|-------|-------|-------|-------|-------|-------|--------|-----|---|
| | MS8.3 | MS8.4 | MS8.5 | SUM | | MS9.1 | MS9.2 | MS9.3 | MS9.4 | MS9.5 | MS9.6 | MS9.7 | MS9.8 | MS9.9 | MS9.10 | | |
| Gammaridae indet | | | | 1 | 2 | 4 | 2 | | | 1 | | | | | | 9 | |
| Ampelisca cf tenuicornis | | | | | | | | | | | | | | | | | |
| Ampelisca spp. | | | | | | 3 | 6 | 3 | 3 | 3 | | | | | | | |
| Ampelisca sp. 1 | | | | | | | 2 | 1 | 1 | | | | | | | | |
| Ampelisca sp.2 | | | | | | | | | | | | | | | | | |
| Ampeliscidae indet | 1 | | | | 1 | | | | | | | | | | | | 1 |
| Amphipoda indet | | | | | | | | | | | | | | | | | |
| Aoridae indet | | 1 | | | 1 | | | | | | | | | | | | |
| Atylus vedloensis | 2 | | | | 2 | | | | | | | | | | | | |
| Argixa hamatipes | | | | | | | | | | | | | | | | | |
| Caprellidae indet | | 3 | | | 3 | | | | | | | | | | | | |
| Normania quadrrimana | | | | | | 5 | | | | | | | | | | 5 | |
| Tryphosites longipes | 1 | | | | 2 | 2 | 2 | 5 | 3 | 1 | 1 | 6 | 3 | 4 | 27 | | |
| Westwoodilla caeca | | | | | | | 2 | 2 | 1 | | | | | 1 | 1 | | |
| Hippomedon denticulatus | | | | | | | | | | | | | | 3 | 1 | 9 | |
| Liljeborgiidae cf. kinahani | | | | | | 1 | | | | | | | | | | | 1 |
| Liljeborgiidae indet. | 2 | | | | 2 | | | | | | | | | | | | |
| Synchelidium sp | | | | | | | | | | | | | | | | | |
| Lysianassidae indet | 2 | | | | 3 | 2 | | 1 | | | | | | | | 3 | |
| Lysianassidae sp. 1 | | | | | | | | | | | | | | | | | |
| Lembos longipes | | | | | | | | | | | | | | | | | |
| Oedicerotidae indet | 1 | | | | 1 | | | | | | | | | | | | |
| cf Orchomene sp | 2 | | | | 2 | | | | | | | | | | | | |
| Monoculodes sp | | | | | 1 | | | | 1 | | | | | | | 1 | |
| Ischyroceridae indet | | 2 | | | 2 | | | | | | | | | | | | |
| Cheiroractus sp | 1 | | | | 1 | | | | | | | | | | | | |
| Eusirus cf propinquus | | | | | 2 | | | | | | | | | | | | |
| Uristes unbonatus | 1 | | | | 1 | | | | | | | | | | | | |
| Nebalia bipes | 3 | | | | 4 | | | | | | | | | | | | |
| Phoxocephalidae indet | | | | | | | | | 1 | | | | | | | 1 | |
| cf. Paraphoxus oculatus | | | | | | 5 | 2 | 1 | 4 | | 1 | 3 | 5 | 5 | 26 | | |
| Isopoda | | | | | | | | | | | | | | | | | |
| Isothea sp. | | | | | | | | | | | | | | | | | |
| Cirolana cf. Biorealis | 2 | | | | 5 | | 1 | 1 | 2 | | | | 1 | | 5 | | |
| Gnathia sp | | | | | | | | | | | | | | | | | |
| Brachyura | | | | | | | | | | | | | | | | | |
| Brachyura indet | | | | | | | | | | | | | | 1 | 1 | 1 | 3 |
| Ebalia cf. Tuberosa | | | | | | | | | | | | | | | | | |
| Macropipus depurator | | | | | | | | | | | | | | | | | |
| Hyas coarctatus | | | | | | | | | | | | | | | | | |
| MOLLUSCA | | | | | | | | | | | | | | | | | |
| Polyplacophora | | | | | | | | | | | | | | | | | |
| Leptochiton asellus | 3 | 1 | | | 5 | | | | | | | | | | | | |
| Prosobranchia | | | | | | | | | | | | | | | | | |
| Gibbula tumida | | | | | | | | | | | | | | | | | |
| Lacuna vincta | | | | | | | | | | | | | | | | | |
| Hydrobia ulva | | | | | | | | | | | | | | | | | |
| Hydrobia ventrosa | | | | | | | | | | | | | | | | | |
| Lunatia alderi | | | | | | | | | | | | | | | | | |
| Mangelia attenuata | | | | | | | | 1 | | | | | | | | 1 | |
| Actis sp (cf minor) | | | | | | | | | | | | | | | | | |
| Opistobranchia | | | | | | | | | | | | | | | | | |
| Ebala nitidissima | | | | | | | | | | | | | | | | | |
| Cylchima cylindracea | | | | | | | | | | | | | | | | | |
| Cylchima alba | 1 | | | | 1 | | 1 | 1 | | | | | | | | 2 | |
| Aplysia punctata | | | | | | | | 1 | | | | | | | | 1 | |
| Bivalvia | | | | | | | | | | | | | | | | | |
| Mytilus edulis | 6 | | | | 6 | | | 1 | | | | | | | | 1 | |
| Modiolula phaeolina | | | | | | 1 | | | 1 | | | | | | | 1 | |
| Limaria loscombi | | | | | | | | | | | | | | | | | |
| Limatula gwyni | | | | | | | | | | | | | | | | | |
| Limatula subauriculata | 1 | 1 | | | 2 | | | | | | | | | | | | |
| Palliolium tigerinum | | | | | | | | | | | | | | | | | |
| Locinoma borealis | | | | | | | | | | | | | | | | | |
| Thyasira flexuosa | | | | | | | | | | | | | | | | | |
| Thyasira sarsi | 1 | | | | 5 | | | | | | | | | | | | |
| Montacuta tenella | | | | | | | | | | | | | | | | | |
| Astarte montagui | 5 | 2 | 1 | | 10 | | | | | | | | | | | | |
| Astarte sulcata | 2 | | 1 | 3 | | | | | 1 | | | | | | | 1 | |
| Cerastoderma minimum | | | | | | | | | | | | | | | | | |
| Cerastoderma ovale | | | | | | | | | | | | | | | | | |
| Spisula subtruncata | | | | | | | | | | | | | | | | | |
| Fabulina fabula | | | | | | | | | | | | | | | | | |
| Macoma calcarca | | | | | | | | | | | | | | | | | |
| Abra alba | | | | | | | | | | | | | | | | | |
| Abra nitida | | | | | | | | | | | | | | | | | |
| Abra prismatica | | | | | | | | | | | | | | | | | |
| Turtonia minuta | | | | | | | | | | | | | | | | | |
| Chamelea striatula | | | | | | | | | | | | | | | | | |
| Timoclea ovata | | | | | | | 1 | | | | | 1 | | 2 | | 4 | |
| Mya sp juv (cf truncata) | | | | | | | | | | | | | | | | | |
| Mya truncata | | | | | | | | | | | | | | | | | |
| Corbula gibba | | | | | | 3 | | | | | | | | | | 3 | |
| Thracia phaeolina | | | | | | | | | | | | | | | | | |
| Thracia villosa | | | | | | | | | | | | | | | | | |
| Scaphopoda | | | | | | | | | | | | | | | | | |
| Antalis entale | | | | | | 1 | 3 | 4 | 7 | 3 | 2 | 11 | 6 | 8 | 9 | 54 | |
| Cephalopoda | | | | | | | | | | | | | | | | | |
| *Rosso macrostoma | 1 | | | | 1 | | | | | | | | | | | | |
| ECHINODERMATA | | | | | | | | | | | | | | | | | |
| Asterioidea juv | 2 | | | | 2 | | | | | | | | | | | | |
| Asterias sp | | | | | | | | | | | | | | | | | |
| Ophiodera affinis | | | | | | | | | | | | | | | | | |
| Amphipora filiformis | | | | | | | | | | | | | | | | | |
| Ophiuroidea juv. indet | 1 | | | | 1 | | | | | | | 1 | | | | 1 | |
| Echinus juv | 2 | 6 | | | 9 | 6 | 1 | 4 | 1 | 5 | | 6 | 1 | 2 | 26 | | |
| Echinus acutus | | | | | | | | | | | | | | | | | |
| Pseammechinus miliaris | | | | | | | | | | | | | | | | | |
| Brissopsis lyrifera | | | | | | | | | | | | | | | | | |
| Echinocardium sp | 1 | | | | 1 | | | | | | | 1 | | | 1 | | |
| | | | | | | | | | | | | | | | | | |

Vedlegg 2 Dominerende arter på stasjonene

Vedlegg 2. Dominerende arter på hver stasjon

MS1

| | | |
|--------------------|----|-------|
| Oligochaeta indet | 33 | 12.9% |
| Myriochele oculata | 33 | 12.9% |
| Thyasira flexuosa | 31 | 12.2% |
| Macoma calcarea | 20 | 7.8% |
| Lucinoma borealis | 18 | 7.1% |
| Paraonis spp | 13 | 5.1% |
| Abra prismatica | 10 | 3.9% |

MS4

| | | |
|-------------------------|------|-------|
| Myriochele oculata | 1027 | 50.0% |
| Oligochaeta indet | 600 | 29.2% |
| Scoloplos armiger | 115 | 5.6% |
| Prionospio spp | 36 | 1.8% |
| Mediomastus fragilis | 33 | 1.6% |
| Tryphosites longipes | 30 | 1.5% |
| Heteromastus filiformis | 24 | 1.2% |

MS2

| | | |
|----------------------|-----|-------|
| Myriochele oculata | 661 | 39.2% |
| Paronis spp | 398 | 23.6% |
| Owenia fusiformis | 76 | 4.5% |
| Mediomastus fragilis | 74 | 4.4% |
| Oligochaeta indet | 55 | 3.3% |
| Polycirrus sp | 53 | 3.1% |
| Harmothoe sp | 52 | 3.1% |

MS8

| | | |
|----------------------|-----|-------|
| Polycirrus sp | 109 | 17.4% |
| Nothria conchylega | 45 | 7.2% |
| Harmothoe sp | 40 | 6.4% |
| Kefersteinia cirrata | 37 | 5.9% |
| Typosyllis sp | 37 | 5.9% |
| Glycera alba | 36 | 5.8% |
| Pholoe inornata | 34 | 5.4% |

MS3

| | | |
|----------------------|----|-------|
| Pholoe inornata | 74 | 10.9% |
| Polycirrus sp | 66 | 9.7% |
| Paronis spp | 64 | 9.4% |
| Harmothoe sp | 46 | 6.8% |
| Echinus juv | 37 | 5.4% |
| Glycera alba | 36 | 5.3% |
| Mediomastus fragilis | 31 | 4.6% |

MS9

| | | |
|----------------------|-----|-------|
| Glycera alba | 150 | 10.2% |
| Polycirrus sp | 134 | 9.1% |
| Paronis spp | 120 | 8.1% |
| Spiophanes bombyx | 116 | 7.9% |
| Mediomastus fragilis | 92 | 6.2% |
| Prionospio spp | 75 | 5.1% |
| Praxilella sp | 70 | 4.7% |

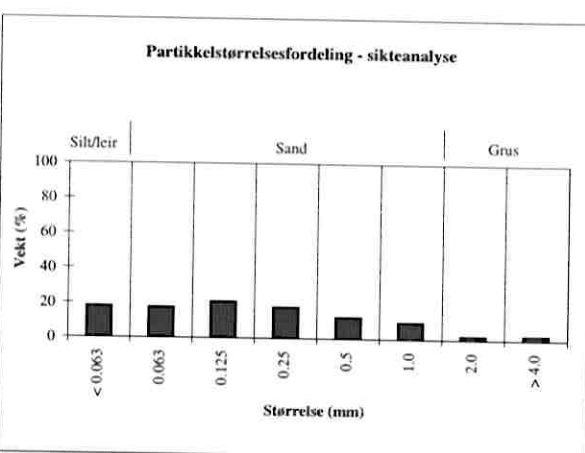
Vedlegg 3 Resultater fra partikkelfordeling analysen

Stasjon: Kollsnes. St.nr.MS-1-1-43. Hugg nr.x, Lab.ref.nr.: 98229-1
Analyseperiode: 16.09.98 -27.10.98. RF-Miljølab. Analytiker: RMAM

Partikelstørrelsesfordeling i sediment - sikteanalyse

| Størrelse (mm) | Phi | Vekt (g) | Vekt (%) | Kumulativ vekt (%) |
|--------------------------------|-------|-------------|-------------|-----------------------|
| > 4.0 | -3.0 | 0.46 | 2.3 | 100.0 |
| 2.0 | -2.0 | 0.38 | 1.9 | 97.7 |
| 1.0 | -1.0 | 1.88 | 9.6 | 95.7 |
| 0.5 | 0.0 | 2.41 | 12.3 | 86.1 |
| 0.25 | 1.0 | 3.48 | 17.7 | 73.9 |
| 0.125 | 2.0 | 4.11 | 20.9 | 56.2 |
| 0.063 | 3.0 | 3.41 | 17.4 | 35.2 |
| < 0.063 | 4.0 | 3.51 | 17.9 | 17.9 |
| Utg.vekt I (ekskl. org. stoff) | | 19.64 | | |
| Utg.vekt II (inkl. org. stoff) | | 22.04 | | |
| Skjevhet | -0.61 | | Gloedtap | 10.9 % |
| Kurtosis | -1.26 | | | |

Partikelstørrelsesfordeling - sikteanalyse

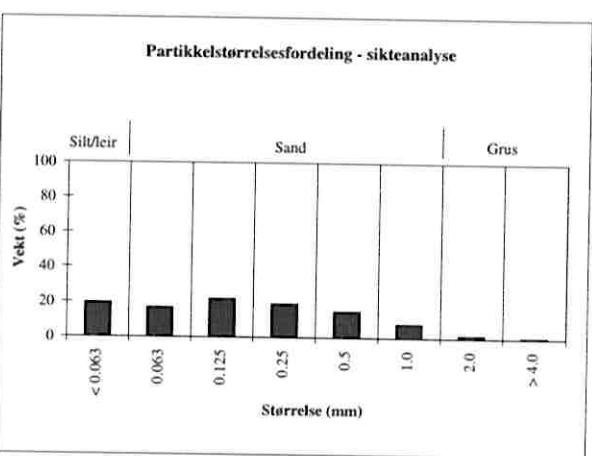


Stasjon: Kollsnes St.nr.MS-1-2-43 Hugg nr.x, Lab.ref.nr.: 98229-2
Analyseperiode: 16.09.98-27.10.98. RF-Miljølab. Analytiker: RMAM

Partikelstørrelsesfordeling i sediment - sikteanalyse

| Størrelse (mm) | Phi | Vekt (g) | Vekt (%) | Kumulativ vekt (%) |
|--------------------------------|-------|-------------|-------------|-----------------------|
| > 4.0 | -3.0 | 0.07 | 0.4 | 100.0 |
| 2.0 | -2.0 | 0.21 | 1.3 | 99.6 |
| 1.0 | -1.0 | 1.21 | 7.6 | 98.2 |
| 0.5 | 0.0 | 2.31 | 14.6 | 90.6 |
| 0.25 | 1.0 | 3.00 | 18.9 | 76.1 |
| 0.125 | 2.0 | 3.43 | 21.6 | 57.2 |
| 0.063 | 3.0 | 2.61 | 16.4 | 35.5 |
| < 0.063 | 4.0 | 3.03 | 19.1 | 19.1 |
| Utg.vekt I (ekskl. org. stoff) | | 15.87 | | |
| Utg.vekt II (inkl. org. stoff) | | 17.50 | | |
| Skjevhet | -0.63 | | Gloedtap | 9.3 % |
| Kurtosis | -1.42 | | | |

Partikelstørrelsesfordeling - sikteanalyse

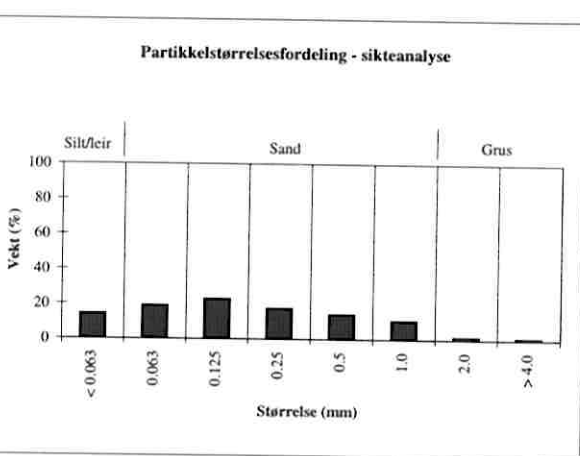


Stasjon: Kollsnes St.nrMS-1-3-43 Hugg nr.x, Lab.ref.nr.: 98229-3
Analyseperiode: 16.09.98-27.10.98. RF-Miljølab. Analytiker: RMAM

Partikelstørrelsesfordeling i sediment - sikteanalyse

| Størrelse (mm) | Phi | Vekt (g) | Vekt (%) | Kumulativ vekt (%) |
|--------------------------------|-------|-------------|-------------|-----------------------|
| > 4.0 | -3.0 | 0.23 | 0.9 | 100.0 |
| 2.0 | -2.0 | 0.38 | 1.5 | 99.1 |
| 1.0 | -1.0 | 2.60 | 10.5 | 97.5 |
| 0.5 | 0.0 | 3.49 | 14.1 | 87.0 |
| 0.25 | 1.0 | 4.27 | 17.3 | 72.9 |
| 0.125 | 2.0 | 5.61 | 22.7 | 55.6 |
| 0.063 | 3.0 | 4.65 | 18.8 | 32.9 |
| < 0.063 | 4.0 | 3.49 | 14.1 | 14.1 |
| Utg.vekt I (ekskl. org. stoff) | | 24.72 | | |
| Utg.vekt II (inkl. org. stoff) | | 27.13 | | |
| Skjevhet | -0.57 | | Gloedtap | 8.9 % |
| Kurtosis | -0.78 | | | |

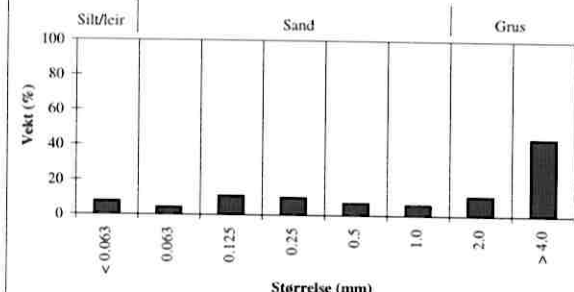
Partikelstørrelsesfordeling - sikteanalyse



Stasjon: Kollsnes. St.nr.MS-2-1-56 Hugg nr.x, Lab.ref.nr.: 98229-4
 Analyseperiode: 16.09.98 -27.10.98. RF-Miljølab. Analytiker: RMAM
 Partikkelstørrelsesfordeling i sediment - sikteanalyse

| Størrelse (mm) | Phi | Vekt (g) | Vekt (%) | Kumulativ vekt (%) |
|--------------------------------|------|----------|----------|--------------------|
| > 4.0 | -3.0 | 11.89 | 43.9 | 100.0 |
| 2.0 | -2.0 | 2.97 | 11.0 | 56.1 |
| 1.0 | -1.0 | 1.64 | 6.1 | 45.2 |
| 0.5 | 0.0 | 1.87 | 6.9 | 39.1 |
| 0.25 | 1.0 | 2.65 | 9.8 | 32.2 |
| 0.125 | 2.0 | 2.94 | 10.9 | 22.4 |
| 0.063 | 3.0 | 1.10 | 4.1 | 11.6 |
| < 0.063 | 4.0 | 2.03 | 7.5 | 7.5 |
| Utg.vekt I (ekskl. org. stoff) | | 27.09 | | |
| Utg.vekt II (inkl. org. stoff) | | 28.64 | | |
| Skjevhet | 2.63 | | Glødetap | 5.4 % |
| Kurtosis | 7.18 | | | |

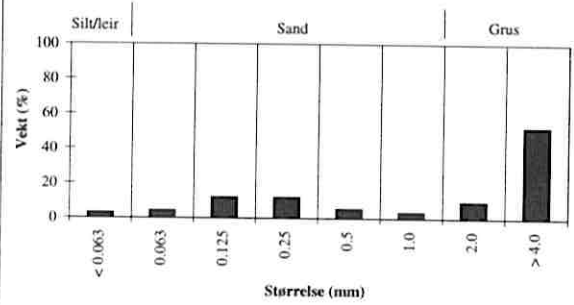
Partikkelstørrelsesfordeling - sikteanalyse



Stasjon: Kollsnes St.nr.MS-2-2-56 Hugg nr.x, Lab.ref.nr.: 98229-5
 Analyseperiode: 16.09.98-27.10.98. RF-Miljølab. Analytiker: RMAM
 Partikkelstørrelsesfordeling i sediment - sikteanalyse

| Størrelse (mm) | Phi | Vekt (g) | Vekt (%) | Kumulativ vekt (%) |
|--------------------------------|------|----------|----------|--------------------|
| > 4.0 | -3.0 | 14.13 | 52.0 | 100.0 |
| 2.0 | -2.0 | 2.51 | 9.2 | 48.0 |
| 1.0 | -1.0 | 0.88 | 3.2 | 38.7 |
| 0.5 | 0.0 | 1.41 | 5.2 | 35.5 |
| 0.25 | 1.0 | 3.18 | 11.7 | 30.3 |
| 0.125 | 2.0 | 3.19 | 11.7 | 18.6 |
| 0.063 | 3.0 | 1.11 | 4.1 | 6.8 |
| < 0.063 | 4.0 | 0.74 | 2.7 | 2.7 |
| Utg.vekt I (ekskl. org. stoff) | | 27.15 | | |
| Utg.vekt II (inkl. org. stoff) | | 28.58 | | |
| Skjevhet | 2.56 | | Glødetap | 5.0 % |
| Kurtosis | 6.83 | | | |

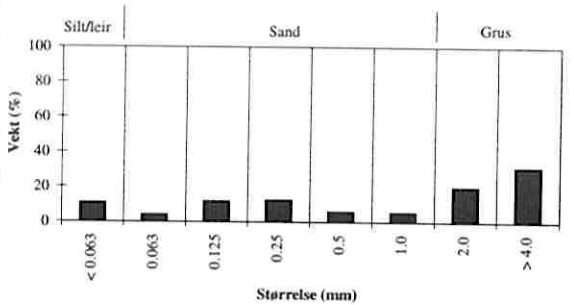
Partikkelstørrelsesfordeling - sikteanalyse



Stasjon: Kollsnes St.nr MS-2-3-56 Hugg nr.x, Lab.ref.nr.: 98229-6
 Analyseperiode: 16.09.98-27.10.98. RF-Miljølab. Analytiker: RMAM
 Partikkelstørrelsesfordeling i sediment - sikteanalyse

| Størrelse (mm) | Phi | Vekt (g) | Vekt (%) | Kumulativ vekt (%) |
|--------------------------------|------|----------|----------|--------------------|
| > 4.0 | -3.0 | 8.82 | 31.2 | 100.0 |
| 2.0 | -2.0 | 5.57 | 19.7 | 68.8 |
| 1.0 | -1.0 | 1.50 | 5.3 | 49.2 |
| 0.5 | 0.0 | 1.59 | 5.6 | 43.9 |
| 0.25 | 1.0 | 3.46 | 12.2 | 38.2 |
| 0.125 | 2.0 | 3.25 | 11.5 | 26.0 |
| 0.063 | 3.0 | 1.11 | 3.9 | 14.5 |
| < 0.063 | 4.0 | 3.00 | 10.6 | 10.6 |
| Utg.vekt I (ekskl. org. stoff) | | 28.30 | | |
| Utg.vekt II (inkl. org. stoff) | | 29.79 | | |
| Skjevhet | 1.41 | | Glødetap | 5.0 % |
| Kurtosis | 1.87 | | | |

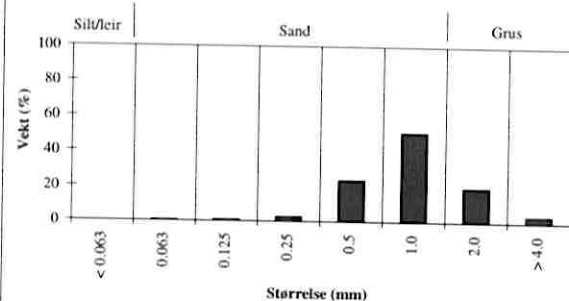
Partikkelstørrelsesfordeling - sikteanalyse



Stasjon: Kollsnes. St.nr.MS-3-1-48. Hugg nr.x, Lab.ref.nr.: 98229-7
 Analyseperiode:16.09.98 -27.10.98. RF-Miljølab. Analytiker: RMAM
 Partikkelstørrelsesfordeling i sediment - sikteanalyse

| Størrelse (mm) | Phi | Vekt (g) | Vekt (%) | Kumulativ vekt (%) |
|--------------------------------|------|-------------|-------------|-----------------------|
| > 4.0 | -3.0 | 0.86 | 3.5 | 100.0 |
| 2.0 | -2.0 | 4.81 | 19.3 | 96.5 |
| 1.0 | -1.0 | 12.60 | 50.6 | 77.2 |
| 0.5 | 0.0 | 5.83 | 23.4 | 26.6 |
| 0.25 | 1.0 | 0.61 | 2.5 | 3.2 |
| 0.125 | 2.0 | 0.12 | 0.5 | 0.7 |
| 0.063 | 3.0 | 0.05 | 0.2 | 0.2 |
| < 0.063 | 4.0 | 0.01 | 0.0 | 0.0 |
| Utg.vekt I (ekskl. org. stoff) | | 24.89 | | |
| Utg.vekt II (inkl. org. stoff) | | 25.42 | | |
| Skjevhet | 1.64 | | Glødetap | 2.1 % |
| Kurtosis | 2.42 | | | |

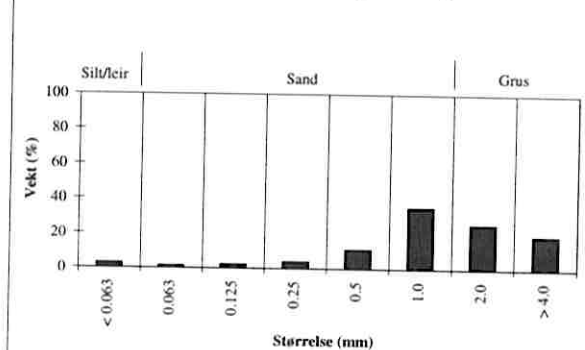
Partikkelstørrelsesfordeling - sikteanalyse



Stasjon: Kollsnes St.nr.MS-3-2-48. Hugg nr.x, Lab.ref.nr.: 98229-8
 Analyseperiode: 16.09.98-27.10.98. RF-Miljølab. Analytiker: RMAM
 Partikkelstørrelsesfordeling i sediment - sikteanalyse

| Størrelse (mm) | Phi | Vekt (g) | Vekt (%) | Kumulativ vekt (%) |
|--------------------------------|-------|-------------|-------------|-----------------------|
| > 4.0 | -3.0 | 4.85 | 19.1 | 100.0 |
| 2.0 | -2.0 | 6.49 | 25.5 | 80.9 |
| 1.0 | -1.0 | 8.95 | 35.2 | 55.4 |
| 0.5 | 0.0 | 2.74 | 10.8 | 20.3 |
| 0.25 | 1.0 | 0.94 | 3.7 | 9.5 |
| 0.125 | 2.0 | 0.52 | 2.0 | 5.8 |
| 0.063 | 3.0 | 0.30 | 1.2 | 3.8 |
| < 0.063 | 4.0 | 0.66 | 2.6 | 2.6 |
| Utg.vekt I (ekskl. org. stoff) | | 25.45 | | |
| Utg.vekt II (inkl. org. stoff) | | 26.21 | | |
| Skjevhet | 0.90 | | Glødetap | 2.9 % |
| Kurtosis | -0.54 | | | |

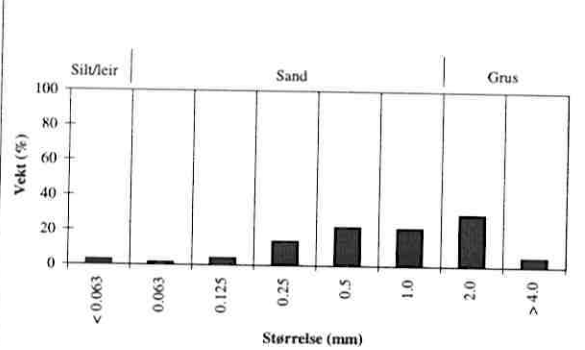
Partikkelstørrelsesfordeling - sikteanalyse



Stasjon: Kollsnes St.nr MS-3-3-48 Hugg nr.x, Lab.ref.nr.: 98229-9
 Analyseperiode: 16.09.98-27.10.98. RF-Miljølab. Analytiker: RMAM
 Partikkelstørrelsesfordeling i sediment - sikteanalyse

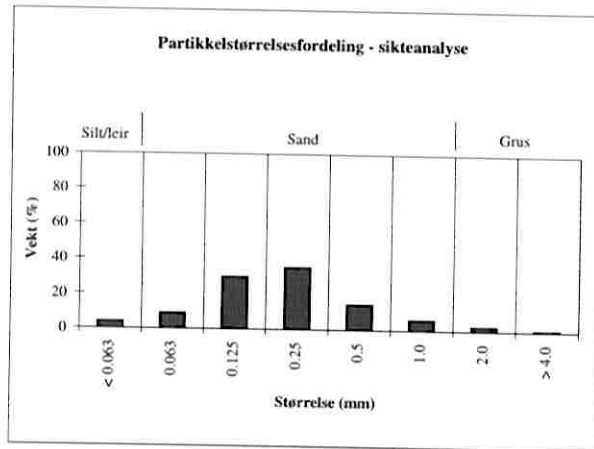
| Størrelse (mm) | Phi | Vekt (g) | Vekt (%) | Kumulativ vekt (%) |
|--------------------------------|-------|-------------|-------------|-----------------------|
| > 4.0 | -3.0 | 1.30 | 5.1 | 100.0 |
| 2.0 | -2.0 | 7.47 | 29.6 | 94.9 |
| 1.0 | -1.0 | 5.43 | 21.5 | 65.3 |
| 0.5 | 0.0 | 5.60 | 22.2 | 43.8 |
| 0.25 | 1.0 | 3.48 | 13.8 | 21.7 |
| 0.125 | 2.0 | 0.98 | 3.9 | 7.9 |
| 0.063 | 3.0 | 0.31 | 1.2 | 4.0 |
| < 0.063 | 4.0 | 0.71 | 2.8 | 2.8 |
| Utg.vekt I (ekskl. org. stoff) | | 25.28 | | |
| Utg.vekt II (inkl. org. stoff) | | 25.95 | | |
| Skjevhet | 0.48 | | Glødetap | 2.6 % |
| Kurtosis | -1.54 | | | |

Partikkelstørrelsesfordeling - sikteanalyse



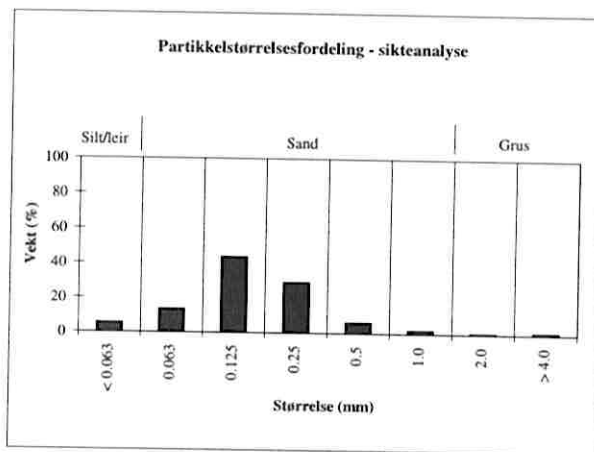
Stasjon: Kollsnes. St.nr.MS-4-1-39. Hugg nr.x, Lab.ref.nr.: 98229-10
 Analyseperiode: 16.09.98 -27.10.98. RF-Miljølab. Analytiker: RMAM
 Partikelstørrelsesfordeling i sediment - sikteanalyse

| Størrelse (mm) | Phi | Vekt (g) | Vekt (%) | Kumulativ vekt (%) |
|--------------------------------|-------|----------|----------|--------------------|
| > 4.0 | -3.0 | 0.12 | 0.5 | 100.0 |
| 2.0 | -2.0 | 0.59 | 2.3 | 99.5 |
| 1.0 | -1.0 | 1.49 | 5.9 | 97.2 |
| 0.5 | 0.0 | 3.61 | 14.2 | 91.3 |
| 0.25 | 1.0 | 8.92 | 35.2 | 77.1 |
| 0.125 | 2.0 | 7.49 | 29.5 | 41.9 |
| 0.063 | 3.0 | 2.19 | 8.6 | 12.4 |
| < 0.063 | 4.0 | 0.94 | 3.7 | 3.7 |
| Utg.vekt I (ekskl. org. stoff) | | 25.35 | | |
| Utg.vekt II (inkl. org. stoff) | | 26.49 | | |
| Skjevhet | 1.10 | | Glødetap | 4.3 % |
| Kurtosis | -0.30 | | | |



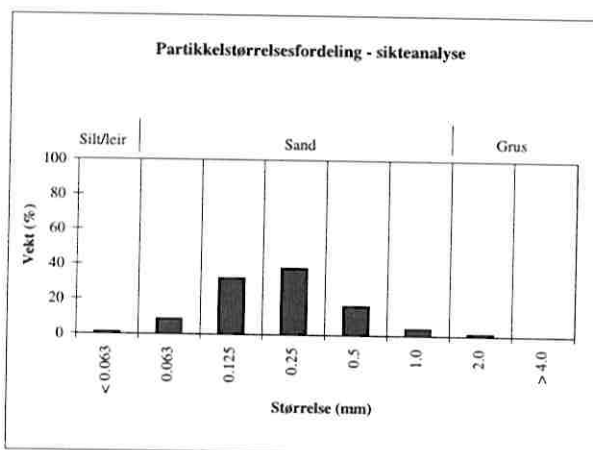
Stasjon: Kollsnes St.nr.MS-4-2-39. Hugg nr.x, Lab.ref.nr.: 98229-11
 Analyseperiode: 16.09.98-27.10.98. RF-Miljølab. Analytiker: RMAM
 Partikelstørrelsesfordeling i sediment - sikteanalyse

| Størrelse (mm) | Phi | Vekt (g) | Vekt (%) | Kumulativ vekt (%) |
|--------------------------------|------|----------|----------|--------------------|
| > 4.0 | -3.0 | 0.23 | 0.9 | 100.0 |
| 2.0 | -2.0 | 0.10 | 0.4 | 99.1 |
| 1.0 | -1.0 | 0.44 | 1.8 | 98.7 |
| 0.5 | 0.0 | 1.48 | 6.0 | 96.9 |
| 0.25 | 1.0 | 7.12 | 28.9 | 90.9 |
| 0.125 | 2.0 | 10.73 | 43.6 | 61.9 |
| 0.063 | 3.0 | 3.24 | 13.2 | 18.4 |
| < 0.063 | 4.0 | 1.28 | 5.2 | 5.2 |
| Utg.vekt I (ekskl. org. stoff) | | 24.62 | | |
| Utg.vekt II (inkl. org. stoff) | | 25.70 | | |
| Skjevhet | 1.44 | | Glødetap | 4.2 % |
| Kurtosis | 1.09 | | | |



Stasjon: Kollsnes St.nr MS-4-3-39 Hugg nr.x, Lab.ref.nr.: 98229-12
 Analyseperiode: 16.09.98-27.10.98. RF-Miljølab. Analytiker: RMAM
 Partikelstørrelsesfordeling i sediment - sikteanalyse

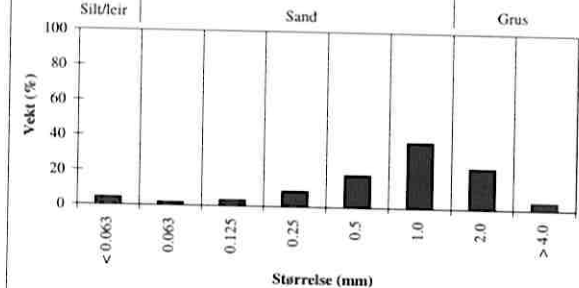
| Størrelse (mm) | Phi | Vekt (g) | Vekt (%) | Kumulativ vekt (%) |
|--------------------------------|-------|----------|----------|--------------------|
| > 4.0 | -3.0 | 0.00 | 0.0 | 100.0 |
| 2.0 | -2.0 | 0.27 | 1.1 | 100.0 |
| 1.0 | -1.0 | 0.92 | 3.8 | 98.9 |
| 0.5 | 0.0 | 4.01 | 16.4 | 95.1 |
| 0.25 | 1.0 | 9.23 | 37.7 | 78.7 |
| 0.125 | 2.0 | 7.76 | 31.7 | 41.0 |
| 0.063 | 3.0 | 2.06 | 8.4 | 9.3 |
| < 0.063 | 4.0 | 0.21 | 0.8 | 0.8 |
| Utg.vekt I (ekskl. org. stoff) | | 24.46 | | |
| Utg.vekt II (inkl. org. stoff) | | 26.27 | | |
| Skjevhet | 1.02 | | Glødetap | 6.9 % |
| Kurtosis | -0.57 | | | |



Stasjon: Kollsnes. St.nr.MS-7-1-65. Hugg nr.x, Lab.ref.nr.: 98229-16
 Analyseperiode: 16.09.98 -27.10.98. RF-Miljølab. Analytiker: RMAM
 Partikkelstørrelsesfordeling i sediment - sikteanalyse

| Størrelse (mm) | Phi | Vekt (g) | Vekt (%) | Kumulativ vekt (%) |
|--------------------------------|------|----------|----------|--------------------|
| > 4.0 | -3.0 | 1.05 | 4.1 | 100.0 |
| 2.0 | -2.0 | 5.94 | 23.0 | 95.9 |
| 1.0 | -1.0 | 9.68 | 37.6 | 72.9 |
| 0.5 | 0.0 | 4.69 | 18.2 | 35.3 |
| 0.25 | 1.0 | 2.21 | 8.6 | 17.1 |
| 0.125 | 2.0 | 0.78 | 3.0 | 8.5 |
| 0.063 | 3.0 | 0.37 | 1.4 | 5.5 |
| < 0.063 | 4.0 | 1.05 | 4.1 | 4.1 |
| Utg.vekt I (ekskl. org. stoff) | | 25.77 | | |
| Utg.vekt II (inkl. org. stoff) | | 26.68 | | |
| Skjevhet | 1.25 | | Glødetap | 3.4 % |
| Kurtosis | 0.79 | | | |

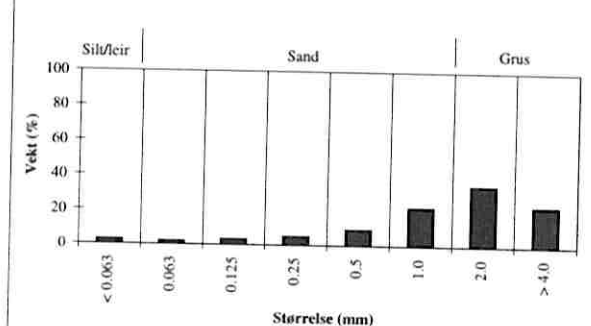
Partikkelstørrelsesfordeling - sikteanalyse



Stasjon: Kollsnes St.nr.MS-7-2-65. Hugg nr.x, Lab.ref.nr.: 98229-17
 Analyseperiode: 16.09.98-27.10.98. RF-Miljølab. Analytiker: RMAM
 Partikkelstørrelsesfordeling i sediment - sikteanalyse

| Størrelse (mm) | Phi | Vekt (g) | Vekt (%) | Kumulativ vekt (%) |
|--------------------------------|-------|----------|----------|--------------------|
| > 4.0 | -3.0 | 6.06 | 22.8 | 100.0 |
| 2.0 | -2.0 | 9.19 | 34.6 | 77.2 |
| 1.0 | -1.0 | 5.84 | 22.0 | 42.5 |
| 0.5 | 0.0 | 2.37 | 8.9 | 20.5 |
| 0.25 | 1.0 | 1.27 | 4.8 | 11.6 |
| 0.125 | 2.0 | 0.76 | 2.9 | 6.8 |
| 0.063 | 3.0 | 0.43 | 1.6 | 3.9 |
| < 0.063 | 4.0 | 0.61 | 2.3 | 2.3 |
| Utg.vekt I (ekskl. org. stoff) | | 26.53 | | |
| Utg.vekt II (inkl. org. stoff) | | 27.41 | | |
| Skjevhet | 0.91 | | Glødetap | 3.2 % |
| Kurtosis | -0.58 | | | |

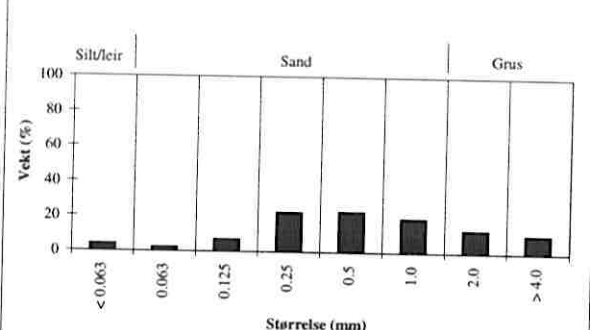
Partikkelstørrelsesfordeling - sikteanalyse



Stasjon: Kollsnes St.nr MS-7-3-65 Hugg nr.x, Lab.ref.nr.: 98229-18
 Analyseperiode: 16.09.98-27.10.98. RF-Miljølab. Analytiker: RMAM
 Partikkelstørrelsesfordeling i sediment - sikteanalyse

| Størrelse (mm) | Phi | Vekt (g) | Vekt (%) | Kumulativ vekt (%) |
|--------------------------------|-------|----------|----------|--------------------|
| > 4.0 | -3.0 | 2.58 | 10.2 | 100.0 |
| 2.0 | -2.0 | 3.23 | 12.8 | 89.8 |
| 1.0 | -1.0 | 4.87 | 19.3 | 77.0 |
| 0.5 | 0.0 | 5.75 | 22.7 | 57.8 |
| 0.25 | 1.0 | 5.64 | 22.3 | 35.1 |
| 0.125 | 2.0 | 1.73 | 6.8 | 12.8 |
| 0.063 | 3.0 | 0.51 | 2.0 | 5.9 |
| < 0.063 | 4.0 | 0.99 | 3.9 | 3.9 |
| Utg.vekt I (ekskl. org. stoff) | | 25.30 | | |
| Utg.vekt II (inkl. org. stoff) | | 26.27 | | |
| Skjevhet | 0.12 | | Glødetap | 3.7 % |
| Kurtosis | -1.76 | | | |

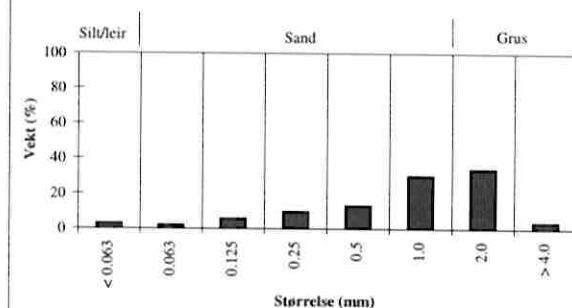
Partikkelstørrelsesfordeling - sikteanalyse



Stasjon: Kollsnes. St.nr.MS-8-1-113. Hugg nr.x, Lab.ref.nr.: 98229-13
 Analyseperiode: 16.09.98 -27.10.98. RF-Miljølab. Analytiker: RMAM
 Partikkelstørrelsesfordeling i sediment - sikteanalyse

| Størrelse (mm) | Phi | Vekt (g) | Vekt (%) | Kumulativ vekt (%) |
|--------------------------------|-------|----------|----------|--------------------|
| > 4.0 | -3.0 | 0.96 | 3.5 | 100.0 |
| 2.0 | -2.0 | 9.19 | 33.9 | 96.5 |
| 1.0 | -1.0 | 8.15 | 30.1 | 62.6 |
| 0.5 | 0.0 | 3.51 | 12.9 | 32.5 |
| 0.25 | 1.0 | 2.58 | 9.5 | 19.5 |
| 0.125 | 2.0 | 1.47 | 5.4 | 10.0 |
| 0.063 | 3.0 | 0.48 | 1.8 | 4.6 |
| < 0.063 | 4.0 | 0.77 | 2.8 | 2.8 |
| Utg.vekt I (ekskl. org. stoff) | | 27.11 | | |
| Utg.vekt II (inkl. org. stoff) | | 28.03 | | |
| Skjevhet | 1.14 | | Glødetap | 3.3 % |
| Kurtosis | -0.36 | | | |

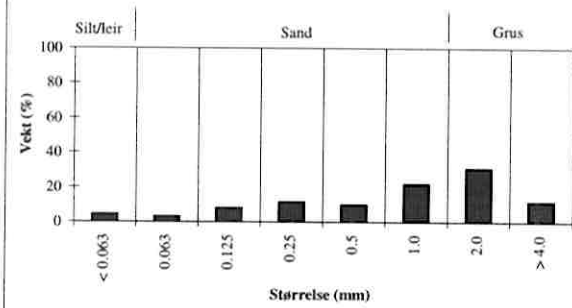
Partikkelstørrelsesfordeling - sikteanalyse



Stasjon: Kollsnes St.nr.MS-8-2-113. Hugg nr.x, Lab.ref.nr.: 98229-14
 Analyseperiode: 16.09.98-27.10.98. RF-Miljølab. Analytiker: RMAM
 Partikkelstørrelsesfordeling i sediment - sikteanalyse

| Størrelse (mm) | Phi | Vekt (g) | Vekt (%) | Kumulativ vekt (%) |
|--------------------------------|------|----------|----------|--------------------|
| > 4.0 | -3.0 | 2.90 | 11.5 | 100.0 |
| 2.0 | -2.0 | 7.73 | 30.7 | 88.5 |
| 1.0 | -1.0 | 5.47 | 21.7 | 57.8 |
| 0.5 | 0.0 | 2.43 | 9.6 | 36.1 |
| 0.25 | 1.0 | 2.88 | 11.4 | 26.5 |
| 0.125 | 2.0 | 2.00 | 7.9 | 15.1 |
| 0.063 | 3.0 | 0.76 | 3.0 | 7.1 |
| < 0.063 | 4.0 | 1.04 | 4.1 | 4.1 |
| Utg.vekt I (ekskl. org. stoff) | | 25.21 | | |
| Utg.vekt II (inkl. org. stoff) | | 26.40 | | |
| Skjevhet | 1.23 | | Glødetap | 4.5 % |
| Kurtosis | 1.03 | | | |

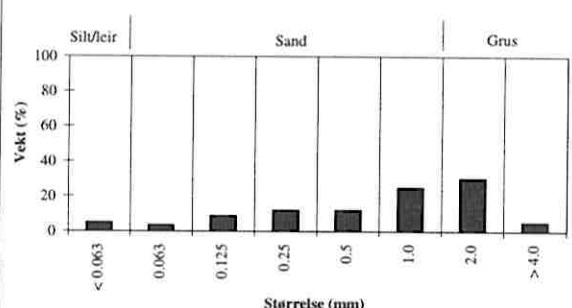
Partikkelstørrelsesfordeling - sikteanalyse



Stasjon: Kollsnes St.nr MS-8-3-113 Hugg nr.x, Lab.ref.nr.: 98229-15
 Analyseperiode: 16.09.98-27.10.98. RF-Miljølab. Analytiker: RMAM
 Partikkelstørrelsesfordeling i sediment - sikteanalyse

| Størrelse (mm) | Phi | Vekt (g) | Vekt (%) | Kumulativ vekt (%) |
|--------------------------------|-------|----------|----------|--------------------|
| > 4.0 | -3.0 | 1.21 | 4.9 | 100.0 |
| 2.0 | -2.0 | 7.47 | 30.1 | 95.1 |
| 1.0 | -1.0 | 6.14 | 24.7 | 65.0 |
| 0.5 | 0.0 | 2.93 | 11.8 | 40.3 |
| 0.25 | 1.0 | 2.96 | 11.9 | 28.5 |
| 0.125 | 2.0 | 2.12 | 8.5 | 16.5 |
| 0.063 | 3.0 | 0.82 | 3.3 | 8.0 |
| < 0.063 | 4.0 | 1.17 | 4.7 | 4.7 |
| Utg.vekt I (ekskl. org. stoff) | | 24.82 | | |
| Utg.vekt II (inkl. org. stoff) | | 25.77 | | |
| Skjevhet | 1.10 | | Glødetap | 3.7 % |
| Kurtosis | -0.07 | | | |

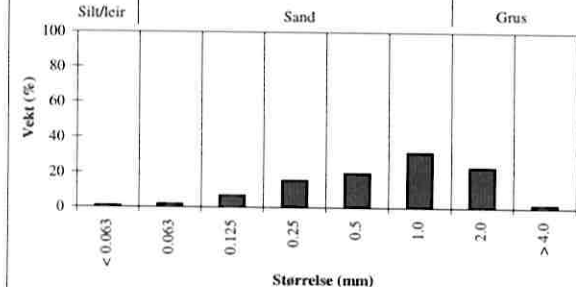
Partikkelstørrelsesfordeling - sikteanalyse



Stasjon: Kollsnes. St.nr.MS-9-1-78. Hugg nr.x, Lab.ref.nr.: 98229-19
 Analyseperiode: 16.09.98 -27.10.98. RF-Miljølab. Analytiker: RMAM
 Partikkelstørrelsesfordeling i sediment - sikteanalyse

| Størrelse (mm) | Phi | Vekt (g) | Vekt (%) | Kumulativ vekt (%) |
|--------------------------------|-------|----------|----------|--------------------|
| > 4.0 | -3.0 | 0.43 | 1.6 | 100.0 |
| 2.0 | -2.0 | 6.28 | 23.1 | 98.4 |
| 1.0 | -1.0 | 8.55 | 31.5 | 75.3 |
| 0.5 | 0.0 | 5.31 | 19.6 | 43.8 |
| 0.25 | 1.0 | 4.15 | 15.3 | 24.3 |
| 0.125 | 2.0 | 1.79 | 6.6 | 9.0 |
| 0.063 | 3.0 | 0.44 | 1.6 | 2.4 |
| < 0.063 | 4.0 | 0.21 | 0.8 | 0.8 |
| Utg.vekt I (ekskl. org. stoff) | | 27.16 | | |
| Utg.vekt II (inkl. org. stoff) | | 28.03 | | |
| Skjevhet | 0.49 | | Glødetap | 3.1 % |
| Kurtosis | -1.23 | | | |

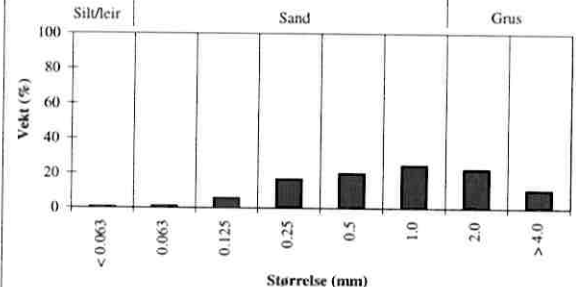
Partikkelstørrelsesfordeling - sikteanalyse



Stasjon: Kollsnes St.nr.MS-9-2-78. Hugg nr.x, Lab.ref.nr.: 98229-20
 Analyseperiode: 16.09.98-27.10.98. RF-Miljølab. Analytiker: RMAM
 Partikkelstørrelsesfordeling i sediment - sikteanalyse

| Størrelse (mm) | Phi | Vekt (g) | Vekt (%) | Kumulativ vekt (%) |
|--------------------------------|-------|----------|----------|--------------------|
| > 4.0 | -3.0 | 2.80 | 10.5 | 100.0 |
| 2.0 | -2.0 | 5.95 | 22.2 | 89.5 |
| 1.0 | -1.0 | 6.56 | 24.5 | 67.3 |
| 0.5 | 0.0 | 5.26 | 19.7 | 42.8 |
| 0.25 | 1.0 | 4.39 | 16.4 | 23.1 |
| 0.125 | 2.0 | 1.48 | 5.5 | 6.7 |
| 0.063 | 3.0 | 0.23 | 0.9 | 1.2 |
| < 0.063 | 4.0 | 0.09 | 0.3 | 0.3 |
| Utg.vekt I (ekskl. org. stoff) | | 26.76 | | |
| Utg.vekt II (inkl. org. stoff) | | 27.50 | | |
| Skjevhet | -0.14 | | Glødetap | 2.7 % |
| Kurtosis | -1.83 | | | |

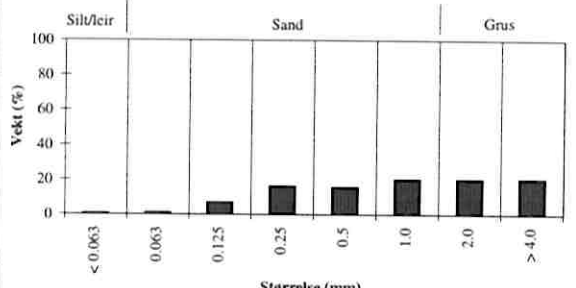
Partikkelstørrelsesfordeling - sikteanalyse



Stasjon: Kollsnes St.nr MS-9-3-78 Hugg nr.x, Lab.ref.nr.: 98229-21
 Analyseperiode: 16.09.98-27.10.98. RF-Miljølab. Analytiker: RMAM
 Partikkelstørrelsesfordeling i sediment - sikteanalyse

| Størrelse (mm) | Phi | Vekt (g) | Vekt (%) | Kumulativ vekt (%) |
|--------------------------------|-------|----------|----------|--------------------|
| > 4.0 | -3.0 | 5.59 | 20.3 | 100.0 |
| 2.0 | -2.0 | 5.51 | 20.0 | 79.7 |
| 1.0 | -1.0 | 5.52 | 20.1 | 59.6 |
| 0.5 | 0.0 | 4.27 | 15.5 | 39.6 |
| 0.25 | 1.0 | 4.42 | 16.1 | 24.0 |
| 0.125 | 2.0 | 1.84 | 6.7 | 8.0 |
| 0.063 | 3.0 | 0.27 | 1.0 | 1.3 |
| < 0.063 | 4.0 | 0.08 | 0.3 | 0.3 |
| Utg.vekt I (ekskl. org. stoff) | | 27.50 | | |
| Utg.vekt II (inkl. org. stoff) | | 28.12 | | |
| Skjevhet | -0.65 | | Glødetap | 2.2 % |
| Kurtosis | -1.61 | | | |

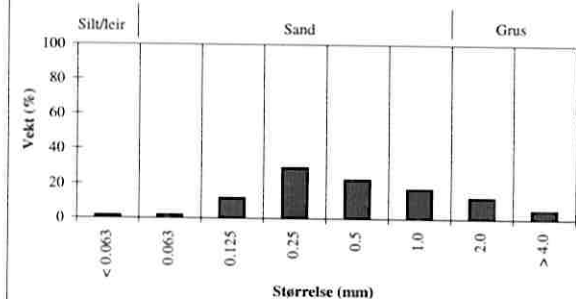
Partikkelstørrelsesfordeling - sikteanalyse



Stasjon: Kollsnes. St.nr.MS-9-4-78. Hugg nr.x, Lab.ref.nr.: 98229-22
 Analyseperiode: 16.09.98 -27.10.98. RF-Miljolab. Analytiker: RMAM
 Partikkelstørrelsesfordeling i sediment - sikteanalyse

| Størrelse (mm) | Phi | Vekt (g) | Vekt (%) | Kumulativ vekt (%) |
|--------------------------------|-------|----------|----------|--------------------|
| > 4.0 | -3.0 | 1.36 | 5.0 | 100.0 |
| 2.0 | -2.0 | 3.30 | 12.1 | 95.0 |
| 1.0 | -1.0 | 4.60 | 16.9 | 82.9 |
| 0.5 | 0.0 | 6.04 | 22.2 | 65.9 |
| 0.25 | 1.0 | 7.92 | 29.1 | 43.7 |
| 0.125 | 2.0 | 3.13 | 11.5 | 14.6 |
| 0.063 | 3.0 | 0.46 | 1.7 | 3.1 |
| < 0.063 | 4.0 | 0.38 | 1.4 | 1.4 |
| Utg.vekt I (ekskl. org. stoff) | | 27.19 | | |
| Utg.vekt II (inkl. org. stoff) | | 28.00 | | |
| Skjevhet | 0.50 | Glødetap | | 2.9 % |
| Kurtosis | -0.72 | | | |

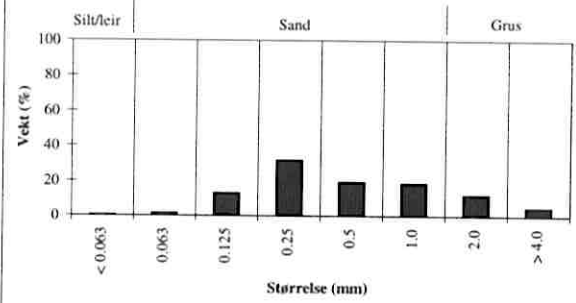
Partikkelstørrelsesfordeling - sikteanalyse



Stasjon: Kollsnes St.nr.MS-9-5-75. Hugg nr.x, Lab.ref.nr.: 98229-23
 Analyseperiode: 16.09.98-27.10.98. RF-Miljolab. Analytiker: RMAM
 Partikkelstørrelsesfordeling i sediment - sikteanalyse

| Størrelse (mm) | Phi | Vekt (g) | Vekt (%) | Kumulativ vekt (%) |
|--------------------------------|-------|----------|----------|--------------------|
| > 4.0 | -3.0 | 1.29 | 4.6 | 100.0 |
| 2.0 | -2.0 | 3.31 | 11.8 | 95.4 |
| 1.0 | -1.0 | 5.16 | 18.4 | 83.6 |
| 0.5 | 0.0 | 5.41 | 19.3 | 65.2 |
| 0.25 | 1.0 | 8.85 | 31.5 | 45.9 |
| 0.125 | 2.0 | 3.60 | 12.8 | 14.4 |
| 0.063 | 3.0 | 0.38 | 1.4 | 1.5 |
| < 0.063 | 4.0 | 0.05 | 0.2 | 0.2 |
| Utg.vekt I (ekskl. org. stoff) | | 28.05 | | |
| Utg.vekt II (inkl. org. stoff) | | 28.92 | | |
| Skjevhet | 0.59 | Glødetap | | 3.0 % |
| Kurtosis | -0.04 | | | |

Partikkelstørrelsesfordeling - sikteanalyse



Vedlegg 4 Rapport fra metall- og glødetapsanalysen

Veslemøy Eriksen
RF-Rogalandsforskning



Prøver tatt dato:

Prøver mottatt dato: 01.09.98

Analyseperiode: 18-10-21 10:98

Analyserapport sendt: 28.10.98

Ref.nr.: 98229

Prøvested: Kollsnes

Prøvetype: Sediment

Ikke akkreditert metode

Veslemøy Eriksen
RF-Rogalandsforskning



Prøver tatt dato:
Prøver mottatt dato:
Analyseperiode:
Analyserapport sendt:

Ref.nr.: 98229
Prøvested: Kollsnes
Prøvetype: Sediment

Ikke akkreditert metode

Veslemøy Eriksen
RF-Rogalandsforskning



Prøver tatt dato:

Prøver mottatt dato: 01.09.98

Analyseperiode: 18.10-21.10.98

Analyserapport sendt: 28.10.98

Ref.nr.: 98229

Prøvested: Kollsnes

Prøvetype: Sediment

Ikke akkreditert metode

Veslemøy Eriksen
RF-Rogalandsforskning



Prøver tatt dato:

Prøver mottatt dato: 01.09.98

Analyseperiode: 18.10.-21.10.98

Analyserapport sendt: 28.10.98

Ref.nr.: 98229

Prøvested: Kollsnes

Prøvetype: Sediment

Ikke akkreditert metode

Veslemøy Eriksen
RF-Rogalandsforskning



Prøver tatt dato:
Prøver mottatt dato:
Analyseperiode:
Analyserapport sendt:

Ref.nr.: 98229
Prøvested: Kollsnes
Prøvetype: Sediment

Ikke akkreditert metode

RF - Miljølab er akkreditert av Norsk Akkreditering (NA) i henhold til kravene i EN-NS 45001 og ISO/IEC Guide 25.

Analyseresultatene gjelder utelukkende på de analyserte prøvene. Prøvetaking er ikke omfattet av akkrediteringen.

Med mindre annet er skriftlig avtalt med BE, er kopiering av denne analysersrapport ikke tillatt, dersom ikke en konsesjon til det er gitt.

Med vennlig hilsen
BE - Miljølab

Inger-Lisa Andersen
Kvalitetsansvarlig

Elin Horve
Elin Horve
Analytiker

Oppdragsgiver er kjent med laboratoriets måleusikkerhet ved de aktuelle analyser

Vedlegg 5 Rapport fra hydrokarbonanalysen

Rapport

Analyse av 23 sedimentprøver

Rekvirent: **RF-Rogalandsforskning**
Veslemøy Eriksen
P.O. Box 2503 Ullandhaug
4004 Stavanger

Dato utgitt: 09.10.1998

Utført av: **MILJØ-KJEMI, Norsk Miljø Senter**
Nils Hansens vei 13, N-0667 Oslo

Tom Lohiniva
cand.scient

Einar Jordfald
Laboratorieleder

Generelt

MILJØ-KJEMI Norsk Miljø Senter har foretatt analyse av 23 sedimentprøver. Analysene er rekvirert av RF-Rogalandforskning ved Veslemøy Eriksen.

Prøvemateriale og analyseomfang

Laboratoriet mottok den 03.09.1998 23 stk sedimentprøver til analyse for THC og PAH.

Prøvene var merket:

- MS1, Grabbnr.: 1, 43
- MS1, Grabbnr.: 2, 43
- MS1, Grabbnr.: 3, 43
- MS2, Grabbnr.: 1, 56
- MS2, Grabbnr.: 2, 56
- MS2, Grabbnr.: 3, 56
- MS3, Grabbnr.: 1, 48
- MS3, Grabbnr.: 2, 48
- MS3, Grabbnr.: 3, 48
- MS4, Grabbnr.: 1, 39
- MS4, Grabbnr.: 2, 39
- MS4, Grabbnr.: 3, 39
- MS7, Grabbnr.: 1, 65
- MS7, Grabbnr.: 2, 65
- MS7, Grabbnr.: 3, 65
- MS8, Grabbnr.: 1, 113
- MS8, Grabbnr.: 2, 113
- MS8, Grabbnr.: 3, 113
- MS9, Grabbnr.: 1, 78
- MS9, Grabbnr.: 2, 78
- MS9, Grabbnr.: 3, 78
- MS9, Grabbnr.: 4, 78
- MS9, Grabbnr.: 5, 78

Hver prøve ble mottatt nedfrosset pakket i aluminiumsfolie med plastpose med lylås utenpå.

Prøvene ble kjølt ned til -20 °C ved mottak og holdt kjølig frem til analyse.

Analysen er utført i perioden 15.09.98 - 23.09.98

Analysemetoder

- MK-2020 Bestemmelse av hydrokarboner i sedimenter**
Prinsipp:
Sedimentprøven forsåpes med KOH. Deretter ekstraheres hydrokarbonene med diklormetan og den polare fraksjonen fjernes med søylekromatografi. Etter inndamping analyseres ekstraktet på GC/FID.
- Analyseusikkerhet:*
RSD 15%, ved verdier mindre enn 10 ganger metodens deteksjonsgrense opp til 50%.
- MK-2021 Bestemmelse av PAH i sedimenter**
Prinsipp:
Sedimentprøven forsåpes med KOH. Deretter ekstraheres hydrokarbonene med diklormetan og den polare fraksjonen fjernes med søylekromatografi. Etter inndamping analyseres ekstraktet på GC/MS/SIM.
- Analyseusikkerhet:*
RSD 15%, ved verdier mindre enn 10 ganger metodens deteksjonsgrense opp til 50%.
- MK-4030 Tørstoffbestemmelse i sediment**
Prinsipp:
Sedimentprøven tørkes ved 105°C til konstant vekt.
- Analyseusikkerhet:*
RSD 5%.

Alle analysene er utført ved MILJØ-KJEMIs avdeling i Albertslund i Danmark.

Resultater

Resultatene er sammenfattet i tabellene nedenfor. Resultatene er også presentert i den vedlagte akkrediterte analyserapporten, vedlegg 1. Kromatomgrammene av prøvene, blindprøve og basisolje er vedlagt i bilag 1 til 13.

| Enhet: µg/kg TV THC: mg/kg TV | Prøvemerking | | | | Det. grense * |
|--------------------------------------|---------------------------|---------------------------|---------------------------|---------------------------|---------------|
| | MS1, Grabbnr.: 1 43 | MS1, Grabbnr.: 2 43 | MS1, Grabbnr.: 3 43 | MS2, Grabbnr.: 1 56 | |
| THC: | | | | | |
| total hydrokarboner | 70 | 99 | 92 | 56 | 10 |
| PAH: | | | | | |
| naftalen | 4,2 | 6,4 | 7,3 | 2,7 | 0,5 |
| asenaftylen | 1,3 | 1,9 | 1,6 | 0,83 | 0,2 |
| asenaften | 1,2 | 1,4 | 1,4 | 0,50 | 0,2 |
| fluoren | 3,0 | 4,0 | 4,0 | 1,8 | 0,2 |
| fenantren | 16 | 21 | 24 | 8,6 | 0,2 |
| antrasen | 4,0 | 5,1 | 5,3 | 2,1 | 0,2 |
| fluoranten | 30 | 38 | 41 | 17 | 0,2 |
| pyren | 24 | 29 | 32 | 13 | 0,2 |
| benso(a)antrasen | 15 | 18 | 19 | 7,2 | 0,2 |
| krysens/trifenylen | 22 | 26 | 29 | 12 | 0,2 |
| benso(b/j/k)fluorantener | 110 | 130 | 150 | 66 | 0,2 |
| benso(a)pyren | 29 | 35 | 39 | 15 | 0,2 |
| indeno(1,2,3-cd)pyren | 75 | 100 | 92 | 42 | 0,2 |
| dibenzo(a,h)antrasen | 17 | 20 | 20 | 9,0 | 0,2 |
| benso(ghi)perylene | 87 | 120 | 110 | 47 | 0,2 |
| Tørrvekt, % | 46,4 | 43,3 | 42,3 | 57,0 | |

- Mindre enn den anførte deteksjonsgrense.

* Enhet mg/kg våtvekt for THC og µg/kg våtvekt for PAH og PCB.
TV Tørrvekt



| Enhets: µg/kg TV THC: mg/kg TV | Prøvemerking | | | | Deteksjonsgrense * |
|---------------------------------------|---------------------------|---------------------------|--------------------------|---------------------------|--------------------|
| | MS2, Grabbnr.: 2 56 | MS2, Grabbnr.: 3 56 | MS3, Grabnr.: 1 48 | MS3, Grabbnr.: 2 48 | |
| THC: total hydrokarboner | 40 | 52 | 19 | - | 10 |
| PAH: | | | | | |
| naftalen | 2,6 | 2,5 | - | - | 0,5 |
| asenaftylen | 0,62 | 0,70 | - | - | 0,2 |
| asenaften | 0,38 | 0,50 | - | - | 0,2 |
| fluoren | 1,4 | 1,5 | - | 0,41 | 0,2 |
| fenantren | 7,0 | 8,0 | 0,85 | 2,0 | 0,2 |
| antrasen | 1,6 | 2,0 | - | 0,37 | 0,2 |
| fluoranten | 14 | 16 | 1,6 | 3,3 | 0,2 |
| pyren | 11 | 13 | 1,1 | 2,2 | 0,2 |
| benso(a)antrasen | 6,3 | 7,0 | 0,75 | 1,5 | 0,2 |
| krysen/trifenylen | 10 | 11 | 1,5 | 2,8 | 0,2 |
| benso(b/j/k)fluorantener | 55 | 66 | 5,9 | 12 | 0,2 |
| benso(a)pyren | 12 | 15 | 1,2 | 2,5 | 0,2 |
| indeno(1,2,3-cd)pyren | 32 | 41 | 3,7 | 7,5 | 0,2 |
| dibenso(a,h)antrasen | 7,2 | 9,0 | 0,76 | 1,4 | 0,2 |
| benso(ghi)perylen | 34 | 46 | 3,7 | 7,6 | 0,2 |
| Tørrvekt, % | 59,6 | 57,1 | 72,1 | 65,2 | |

- Mindre enn den anførte deteksjonsgrense.

* Enhets mg/kg våtvekt for THC og µg/kg våtvekt for PAH.

TV Tørrvekt

| Enhet: µg/kg TV THC: mg/kg TV | Prøvemerking | | | | Det. grense * |
|--------------------------------------|---------------------------|---------------------------|---------------------------|---------------------------|------------------|
| | MS3, Grabbnr.: 3 48 | MS4, Grabbnr.: 1 39 | MS4, Grabbnr.: 2 39 | MS4, Grabbnr.: 3 39 | |
| THC: total hydrokarboner | - | 11 | 14 | 10 | 10 |
| PAH: | | | | | |
| naftalen | - | - | - | - | 0,5 |
| asenaftylen | - | - | - | - | 0,2 |
| asenaften | - | - | - | - | 0,2 |
| fluoren | 0,46 | 0,75 | 0,64 | 0,49 | 0,2 |
| fenantren | 2,2 | 1,9 | 1,2 | 1,2 | 0,2 |
| antrasen | 0,52 | 0,47 | 0,37 | - | 0,2 |
| fluoranten | 5,2 | 3,5 | 2,8 | 2,4 | 0,2 |
| pyren | 3,8 | 2,8 | 2,1 | 1,9 | 0,2 |
| benso(a)antrasen | 2,2 | 1,3 | 0,98 | 0,85 | 0,2 |
| krysen/trifenylen | 3,6 | 2,9 | 2,1 | 1,9 | 0,2 |
| benso(b/j/k)fluorantener | 15 | 11 | 11 | 8,8 | 0,2 |
| benso(a)pyren | 3,7 | 2,7 | 2,4 | 2,0 | 0,2 |
| indeno(1,2,3-cd)pyren | 9,7 | 6,6 | 7,0 | 5,6 | 0,2 |
| dibenso(a,h)antrasen | 1,9 | 1,3 | 1,4 | 1,1 | 0,2 |
| benso(ghi)perylen | 11 | 8,4 | 9,1 | 6,9 | 0,2 |
| Tørrvekt, % | 62,6 | 53,1 | 56,1 | 56,1 | |

- Mindre enn den anførte deteksjonsgrense.

* Enhet mg/kg våtvekt for THC og µg/kg våtvekt for PAH .

TV Tørrvekt

| Enhet: µg/kg TV THC: mg/kg TV | Prøvemerking | | | | Det. grense * |
|--------------------------------------|---------------------------|---------------------------|---------------------------|-----------------------------|------------------|
| | MS7, Grabbnr.: 1 65 | MS7, Grabbnr.: 2 65 | MS7, Grabbnr.: 3 65 | MS8, Grabbnr. : 1 113 | |
| THC: total hydrokarboner | - | 10 | 16 | - | 10 |
| PAH: | | | | | |
| naftalen | - | - | - | 1,0 | 0,5 |
| asenaftylen | - | - | - | - | 0,2 |
| asenaften | - | - | - | - | 0,2 |
| fluoren | - | 0,45 | 0,82 | 0,59 | 0,2 |
| fenantren | 0,97 | 2,4 | 1,9 | 3,4 | 0,2 |
| antrasen | - | - | 0,37 | 0,79 | 0,2 |
| fluoranten | 1,9 | 4,7 | 3,6 | 6,4 | 0,2 |
| pyren | 1,4 | 3,8 | 2,5 | 5,1 | 0,2 |
| benso(a)antrasen | 0,81 | 2,1 | 1,6 | 3,7 | 0,2 |
| krysen/trifenylen | 1,5 | 3,8 | 2,8 | 5,3 | 0,2 |
| benso(b/j/k)fluorantener | 7,9 | 11 | 14 | 22 | 0,2 |
| benso(a)pyren | 1,7 | 3,4 | 3,3 | 6,0 | 0,2 |
| indeno(1,2,3-cd)pyren | 5,3 | 6,6 | 9,1 | 14 | 0,2 |
| dibenso(a,h)antrasen | 1,0 | 1,5 | 1,8 | 3,0 | 0,2 |
| benso(ghi)perylen | 6,1 | 7,0 | 9,9 | 17 | 0,2 |
| Tørrvekt, % | 56,8 | 53,6 | 54,1 | 56,7 | |

- Mindre enn den anførte deteksjonsgrense.

* Enhet mg/kg våtvekt for THC og µg/kg våtvekt for PAH.

TV Tørrvekt

| Enhet: µg/kg TV THC: mg/kg TV | Prøvemerking | | | | Det. grense * |
|--------------------------------------|----------------------------|----------------------------|---------------------------|---------------------------|------------------|
| | MS8, Grabbnr.: 2 113 | MS8, Grabbnr.: 3 113 | MS9, Grabbnr.: 1 78 | MS9, Grabbnr.: 2 78 | |
| THC: total hydrokarboner | 15 | 11 | - | - | 10 |
| PAH: | | | | | |
| naftalen | 2,4 | 1,8 | 1,4 | - | 0,5 |
| asenaftylen | 0,45 | - | - | - | 0,2 |
| asenaften | - | - | - | - | 0,2 |
| fluoren | 1,1 | 1,3 | 0,49 | 0,39 | 0,2 |
| fenantren | 5,6 | 11 | 2,6 | 1,5 | 0,2 |
| antrasen | 1,1 | 3,1 | 0,52 | 0,34 | 0,2 |
| fluoranten | 9,7 | 26 | 3,8 | 2,0 | 0,2 |
| pyren | 7,0 | 19 | 2,9 | 1,5 | 0,2 |
| benso(a)antrasen | 4,3 | 11 | 2,0 | 1,2 | 0,2 |
| krysen/trifenylen | 6,8 | 11 | 3,3 | 1,9 | 0,2 |
| benso(b/j/k)fluorantener | 33 | 36 | 14 | 10 | 0,2 |
| benso(a)pyren | 7,6 | 14 | 3,2 | 2,6 | 0,2 |
| indeno(1,2,3-cd)pyren | 20 | 23 | 10 | 8,6 | 0,2 |
| dibenso(a,h)antrasen | 4,2 | 5,2 | 1,9 | 1,6 | 0,2 |
| benso(ghi)perylen | 23 | 25 | 11 | 9,4 | 0,2 |
| Tørrvekt, % | 55,0 | 60,9 | 58,8 | 64,5 | |

- Mindre enn den anførte deteksjonsgrense.

* Enhet mg/kg våtvekt for THC og µg/kg våtvekt for PAH.

TV Tørrvekt

| Enhet: µg/kg TV THC: mg/kg TV | Prøvemerking | | | | Det. grænse * |
|--------------------------------------|---------------------------|---------------------------|---------------------------|--|------------------|
| | MS9, Grabbnr.: 3 78 | MS9, Grabbnr.: 4 78 | MS9, Grabbnr.: 5 78 | | |
| THC: total hydrokarboner | - | - | - | | 10 |
| PAH: | | | | | |
| naftalen | 1,1 | 0,93 | 1,1 | | 0,5 |
| asenaftylen | - | - | - | | 0,2 |
| asenaften | - | - | - | | 0,2 |
| fluoren | 0,36 | 0,35 | 0,36 | | 0,2 |
| fenantren | 1,4 | 1,5 | 1,5 | | 0,2 |
| antrasen | - | - | - | | 0,2 |
| fluoranten | 2,1 | 2,1 | 1,9 | | 0,2 |
| pyren | 1,6 | 1,5 | 1,4 | | 0,2 |
| benso(a)antrasen | 1,2 | 1,0 | 1,0 | | 0,2 |
| krysen/trifenylen | 2,0 | 1,8 | 1,7 | | 0,2 |
| benso(b/j/k)fluorantener | 10 | 9,5 | 9,5 | | 0,2 |
| benso(a)pyren | 2,2 | 1,9 | 1,7 | | 0,2 |
| indeno(1,2,3-cd)pyren | 7,7 | 7,9 | 8,0 | | 0,2 |
| dibenso(a,h)antrasen | 1,5 | 1,3 | 1,3 | | 0,2 |
| benso(ghi)perylen | 8,1 | 8,6 | 8,8 | | 0,2 |
| Tørrvekt, % | 64,1 | 59,8 | 58,5 | | |

- Mindre enn den anførte deteksjonsgrense.

* Enhet mg/kg våtvekt for THC og µg/kg våtvekt for PAH.

TV Tørrvekt